

MXenes: From the Introduction of Structure and Synthesis to the Photocatalytic Ability to Degrade Dyes and Organic Pollutants in Water

Bahareh Rabeie

Department of Environmental Research, Institute for Color Science and Technology, P. O. Box: 167654-654, Tehran, Iran.

ARTICLE INFO

Article history:

Received: 21- 11-2024

Accepted: 19- 02-2025

Available online: 16-04-2025

Print ISSN: 2251-7278

Online ISSN: 2383-2223

DOI: [10.30509/jscw.2025.167478.1222](https://doi.org/10.30509/jscw.2025.167478.1222)

Keywords:

MXene

Structure and synthesis

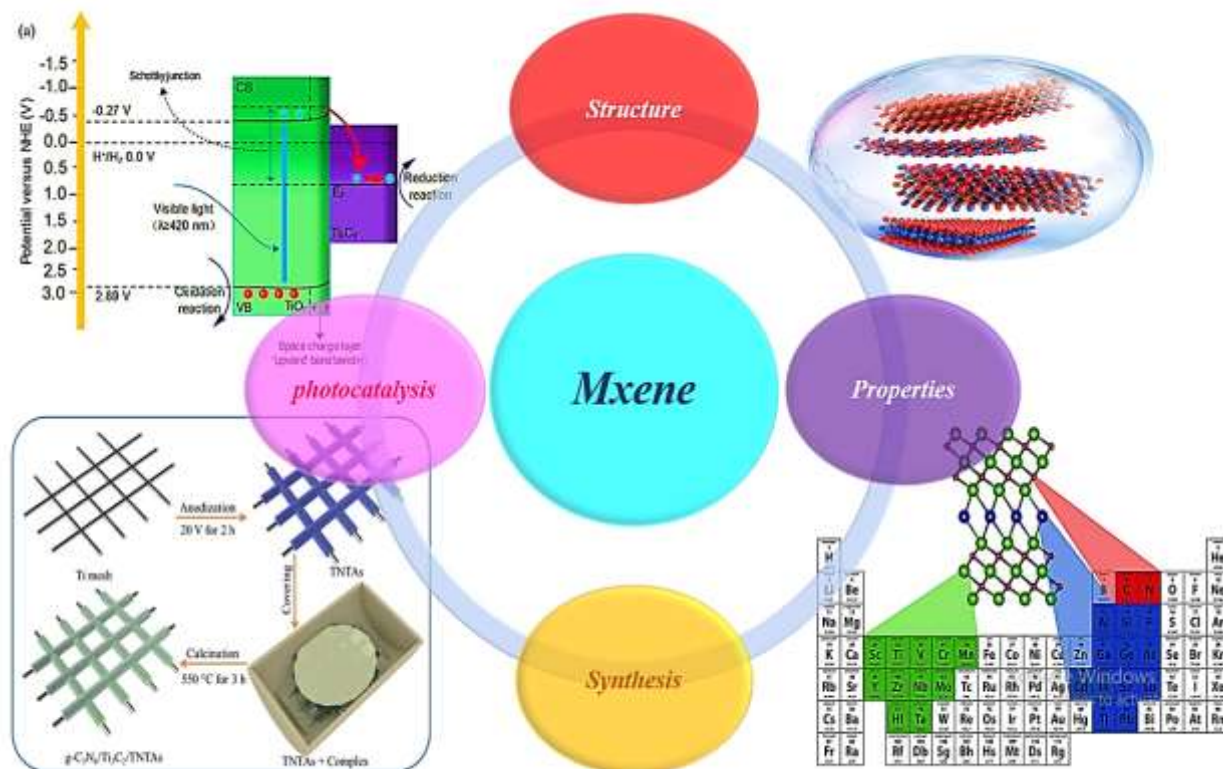
Photocatalysis

Dyes and organic contaminant removal

Wastewater

ABSTRACT

MXenes, a class of two-dimensional transition metal carbides, nitrides, and carbonitrides, have emerged as promising materials for environmental applications. Their rich chemistry of interlayer functional groups, surface functional groups, and flexible layer spacing make them ideal materials exhibiting diverse properties. These features make mxenes promising candidates for various applications, including environmental remediation. The structure of these two-dimensional nanomaterials and the fast electron transfer channels have led to excellent catalytic oxidation activity of the hydrophilic surface, with favorable Gibbs free energy, and the surface functional groups facilitate adsorption interactions. This paper reviews the synthesis strategies and structural evolution of mxenes, and investigated their photocatalytic properties. Mxenes and their composites absorb light to produce active species that effectively degrade pollutants such as dyes and other organic compounds. Despite challenges such as oxidative instability and electron-hole recombination, mxenes-based composites demonstrate superior performance and achieve pollutant removal in optimized systems. This work highlights the potential of mxenes in water purification, and emphasizes their role as next-generation photocatalysts.



Corresponding author: * Rabeie-ba@icrc.ac.ir
b_rabeie@yahoo.com



This work is licensed under a Creative Commons Attribution 4.0 International License



مکسن‌ها: از معرفی ساختار و سنتز تا توانایی فوتوکاتالیزی آنها در تخریب رنگزها و آلاینده‌های آلی در آب

بهاره ربیعی

پژوهشگر پسا دکتری، گروه محیط‌زیست، پژوهشگاه رنگ، تهران، ایران، صندوق پستی: ۱۶۷۶۵۴-۶۵۷

چکیده

مکسن‌ها، دسته‌ای از کاربیدها، نیتریدها و کربونیتریدهای فلزات واسطه هستند که به عنوان مواد دوبعدی امیدوارکننده برای کاربردهای زیست محیطی ظاهر شده‌اند. گروه‌های عاملی بین لایه‌ای، گروه‌های عاملی سطحی و انعطاف‌پذیری فاصله لایه‌ها، آنها را به مواد ایده‌آلی تبدیل می‌کند که طیف متنوعی از خواص، از جمله هدایت الکتریکی بالا، استحکام مکانیکی خوب و آب دوستی را نشان می‌دهند. این ویژگی‌ها، مکسن‌ها را به تامزدهای امیدوارکننده‌ای برای کاربردهای مختلف از جمله پاک‌سازی محیط زیست تبدیل کرده‌است. ساختار این نانومواد دوبعدی و کمال‌های انتقال الکترون پرسرعت، سبب فعالیت اکسایش کاتالیزی بر روی سطح آب‌دوست با انرژی آزاد گیمس مناسب می‌شود و گروه‌های عملکردی سطحی برهم‌کنش‌های جذبی را می‌سازد. این مقاله به بررسی روش‌های سنتز و ارزیابی ساختاری مکسن‌ها می‌پردازد و خواص فوتوکاتالیزی آنها را در تخریب رنگرها و داروها ارزیابی می‌کند. مکسن و کامپوزیت‌های آن نور را جذب می‌کنند تا گونه‌های فعال مانند رادیکال هیدروکسیل برای تخریب موثر آلاینده‌هایی چون رنگرها، داروها و سایر ترکیبات آلی تولید نمایند. علیرغم چالش‌هایی مانند نایابی اکسایشی و بازترکیب الکترون-حفره، کامپوزیت‌های مبتنی بر مکسن عملکرد بتری را در سیستم‌های بهینه حذف آلاینده نشان می‌دهند. این کار پتانسیل مکسن‌ها را در تصفیه پساب رنگی بر جسته می‌کند و بر نقش آنها به عنوان فوتوکاتالیست‌های نسل بعدی تأکید می‌نماید.

اطلاعات مقاله

تاریخچه مقاله:

تاریخ دریافت: ۱۴۰۳/۰۹/۰۱

تاریخ پذیرش: ۱۴۰۳/۱۲/۰۱

در دسترس به صورت الکترونیکی: ۱۴۰۴/۰۱/۲۷

شاپا چاپی: ۲۲۵۱-۷۷۷۸

شاپا الکترونیکی: ۲۳۸۳-۲۲۲۳

DOI: 10.30509/jscw.2025.167478.1222

واژه‌های کلیدی:

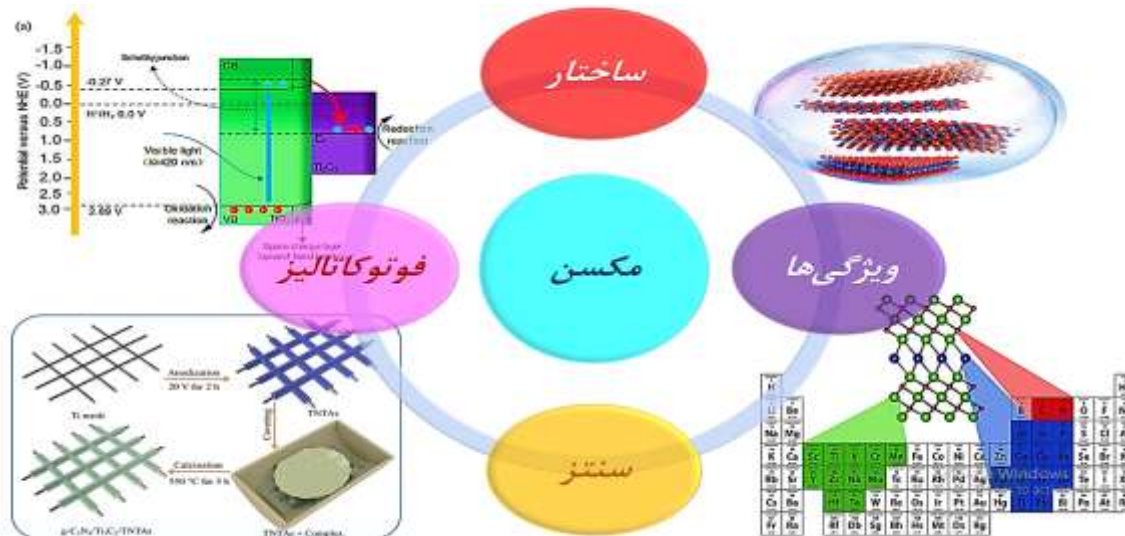
مکسن

ساختار و سنتز

فوتوکاتالیز

حذف رنگر و آلاینده آلی

پساب



Corresponding author: * Rabeie-ba@icrc.ac.ir
b_rabeie@yahoo.com



This work is licensed under a Creative Commons Attribution 4.0 International License

ویژه در محدوده‌های pH خاص از خود نشان می‌دهند. مکسن‌ها مستعد ادغام با سایر مواد مانند پلیمرها، اکسیدهای فلزی یا کوانتم دات‌ها، چارچوب‌های فلز - آلی، نانولوله‌های کربنی و غیره هستند. در فرایند فوتوكاتالیز رسانایی الکتریکی مکسن در فوتوكاتالیست برای جداسازی و انتقال بار بسیار کارآمد است. هنگامی که یک فوتوكاتالیست نیمه‌هادی با مکسن ترکیب می‌شود، الکترون‌های تولید شده از نیمه‌هادی می‌توانند به سرعت به لایه‌های مکسن مهاجرت کنند، در واقع انتقال سریع الکترون به مکسن از نوترکیب الکترون - حفره که یک عامل محدود کننده اصلی در کارایی فوتوكاتالیزی است، جلوگیری می‌کند. با کاهش این نوترکیب^۴، الکترون‌های بیشتری برای کاهش اکسیژن و حفره‌ها بیشتری برای اکسیدکردن مولکول‌های آلاینده در دسترس هستند و در نتیجه فرایند تخریب را تسريع می‌کنند.

بسیاری از مکسن‌ها به تنها یون نور مرئی را به طور قابل توجهی جذب نمی‌کنند، اما در حالت کامپوزیت فوتوكاتالیست‌های توانمندی توانند. هنگامی که مکسن‌ها با نیمه‌هادی‌ها ترکیب می‌شوند، می‌توانند محدوده جذب مواد کامپوزیت را افزایش داده و آن را به سمت ناحیه مرئی گسترش دهند. این امر به ویژه مهم است زیرا نور خورشید دارای نسبت بیشتری از نور مرئی در مقایسه با نور فرابینفشن است. علیرغم اینکه مکسن‌ها می‌توانند مواد امیدوار کننده برای تصفیه آب باشند، با چالش‌های نیز رو به رو هستند. به دلیل وجود نیروهای قوی و اندروالس بین لایه‌های دو بعدی، مکسن‌ها تمايل به تجمع و انباسته شدن مجدد در محلول‌های آبی دارند. همچنین انبوهای یون‌های متنوع در پساب ممکن است سبب تجمع و رسوب مکسن شود. البته در بسیاری از موارد این چالش‌ها با کامپوزیت کردن مکسن با سایر مواد حل شده است. چندین تحقیق پتانسیل مواد کامپوزیتی ساخته شده از مکسن و سایر فوتوكاتالیست‌های نیمه‌هادی را برای تخریب آلاینده‌های مختلف نشان داده‌اند. در این راستا، در این مقاله مروری، نخست به معرفی مکسن‌ها، ساختار و روش‌های سنتز آنها پرداخته و سپس عملکرد این مواد در فرایند فوتوكاتالیز بررسی شد.

۲- ساختار مکسن‌ها

مکسن‌ها خانواده جدیدی از کاربیدها و نیتریدهای فلزات واسطه دو بعدی هستند که در سال ۲۰۱۱ کشف شدند. از آن زمان، عمیقاً بر علم مواد و فناوری نانو تأثیر گذاشتند (۱۵). فرمول کلی آنها $M_{n+1}X_nT_x$ است که M ناما یانگر فلزات واسطه، X نشان دهنده کربن و یا نیتروژن و T نشان دهنده پایانه‌های سطحی است که می‌توانند گروه‌های عملکردی مختلفی باشند (شکل ۱) (۱۶).

۱- مقدمه

جهان در حال حاضر یک بحران آلودگی بی سابقه را تجربه می‌کند. توسعه صنایع مختلف، افزایش شهرنشینی و تغییر سبک زندگی منجر به گسترش انواع آلودگی‌ها در محیط‌زیست شده است، به طوری که نه تنها زندگی انسان، بلکه زندگی همه جانداران را تهدید می‌کند (۲، ۱). در این میان، بحران آلودگی آب، که با بحران تغییرات اقلیم کره زمین و کمبود آب پیوند خورده، به موضوعی چالش برانگیز تبدیل شده است که داشمندان و محققان را مجبور به یافتن راه حل‌های موثر و فناوری‌های نوآورانه و شیوه‌های پایدار با هدف کاهش آلودگی کرده است (۳-۵).

تصفیه پساب برای تضمین منابع آب پاک و حفاظت از سلامت عمومی حیاتی است و روش‌های متعددی به این منظور معرفی شده است. روش‌های فیزیکی، شیمیایی و زیستی در این زمرة هستند (۶-۸). از میان روش‌های شیمیایی، فرایند فوتوكاتالیز به عنوان یک فرایند کاربردی و سازگار با محیط‌زیست است که از قدرت نور برای هدایت واکنش‌های شیمیایی استفاده می‌کند و محصولات جانبی شیمیایی را به حداقل می‌رساند. قابلیت استفاده در شرایط ملایم، پایداری و کارایی فراوان فوتوكاتالیست‌ها از مزایای این روش به حساب می‌آید (۹-۱۱). این فرایند شامل استفاده از نیمه‌هادی تخصصی است که نور را جذب می‌کند و تحریک الکترون‌ها (e^-) را از نوار ظرفیت به نوار رسانش تسهیل می‌کند و در نتیجه جفت الکترون - حفره (e^-/h^+) تشکیل می‌شود. الکترون‌های نوار رسانایی دارای قدرت کاهش قابل توجهی هستند و این آنها را قادر می‌سازد تا در واکنش‌های اکسایش - کاهش^۱ شرکت کنند و نهایتاً مولکول‌های پایدار را به مولکول‌های کوچکتر و غیرمضر مانند آب، دی‌اکسید کربن و نیتروژن تبدیل گردانند (۱۲-۱۴). محققان در حال حاضر بر روی توسعه فوتوكاتالیست‌های جدید با عملکرد و پایداری بهبود یافته تمرکز هستند. در واقع، فوتوكاتالیز یک رویکرد امیدوارکننده برای پرداختن به برخی از مهم‌ترین چالش‌ها در علم انرژی و محیط‌زیست است. با استفاده از خواص منحصر به فرد نانومواد فوتوكاتالیزی و ارتقای درک ما از سازوکارهای آنها، می‌توان گام‌های مهمی به سمت فناوری‌های پایداری برداشت که از منابع انرژی تجدیدپذیر استفاده می‌کنند و پایداری زیستمحیطی را ارتقا می‌دهند. در میان فوتوكاتالیست‌های مختلفی که ممکن است به طور موثر آلاینده‌های آلی را تجزیه کنند، فوتوكاتالیست‌های مبتنی بر مکسن اخیراً به عنوان یک کانون تحقیقاتی ظاهر شده‌اند. دو بعدی مکسن‌ها امکان انتشار سریع مولکول‌های رنگزا و سایر آلاینده‌ها را به گروه‌های عاملی فعال مکسن فراهم می‌آورد (برخلاف مواد متخلخل که در آن انتشار در منافذ می‌تواند محدود کننده سرعت باشد). همچنین سطح مسطح مکسن نیز سینتیک جذب سریع را تسهیل می‌کند. تحت شرایط خاص، بسیاری از مکسن‌ها پایداری خوبی در محلول‌های آبی، به

¹ Valence band

² Conduction band

³ Electron-hole

⁴ Oxidation-reduction

⁵ Recombination

⁶ Terminals

The legend identifies the colored groups:

- M in MXene and MAX:** Yellow
- M group only in MAX:** Orange
- T Surface Terminations:** Pink
- A group in MAX:** Red
- X C, N, O:** Dark Blue

شکل ۱: مواد سازنده مکسن‌ها در جدول تناوبی، بلوک‌های ساختمان مکسن‌ها با رنگ‌های مختلف مشخص شده است (۴۱، ۴۲).

Figure 1. Mxene composites in the periodic table, the building blocks of maxenes are colored (41, 42).

می‌دهد (۳۰-۳۷). مکسن‌های مبتنی بر تانتالوم (Ta)، به طور کلی دارای پایداری بالا و خواص الکترونیکی منحصر به فرد هستند. آنها را می‌توان در برنامه‌های کاربردی در دمای بالا استفاده کرد و نیز ویژگی‌های الکتروشیمیایی مطلوبی نشان می‌دهند. جالب است بدانید که مانند نیوبیم (Nb) در برابر اکسایش مقاوم هستند، از این رو برای کاربردهای مختلف مناسب هستند (۳۴-۳۱).

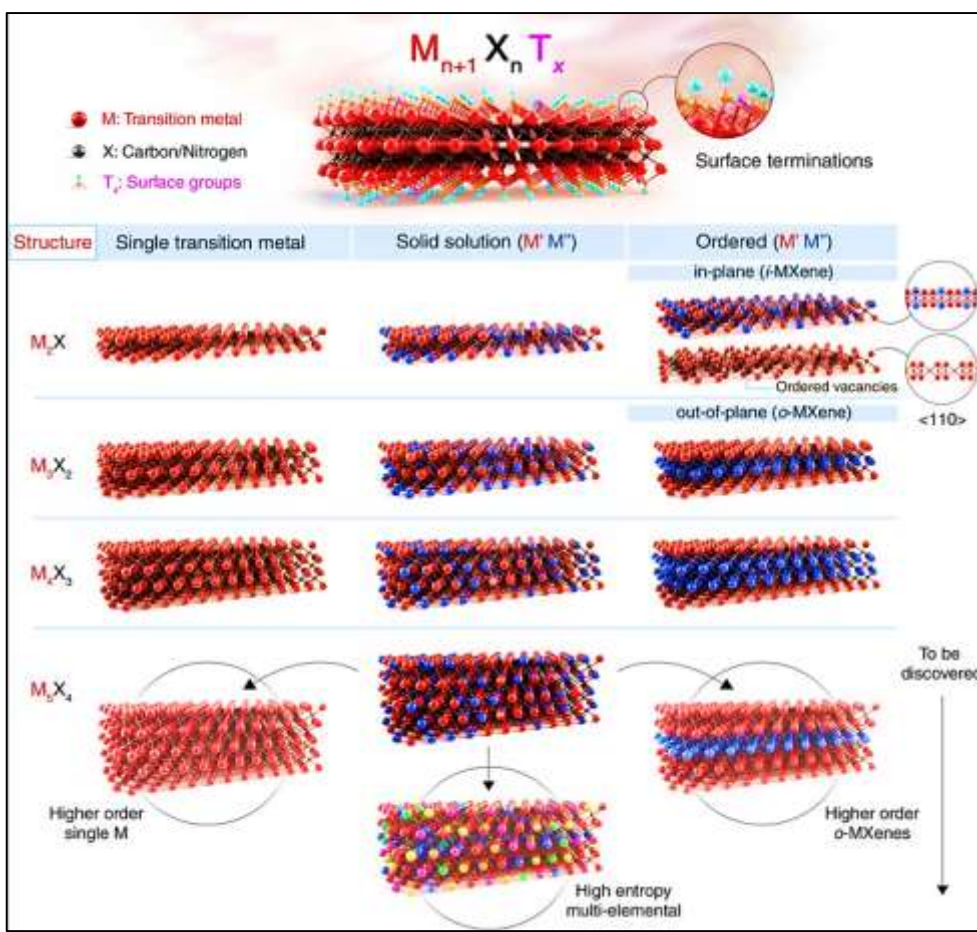
۲-۲- عناصر (X)

عناصر (X) مختلف در ساختار مکسن‌ها اثرات قابل توجهی بر روی خواص آن می‌گذارند. هنگام مقایسه مکسن‌ها با عناصر X مختلف، تفاوت در پیوند شیمیایی، واکنش سطح، رسانایی، پایداری حرارتی و استحکام مکانیکی می‌تواند به مناسببودن مکسن‌های خاص برای کاربردهای خاص کمک کند. مکسن‌های حاوی کربن متداول‌ترین مکسن‌ها هستند که رسانایی الکتریکی و پایداری شیمیایی خوبی نشان می‌دهند (۳۵-۳۹). مکسن‌های دارای نیتروژن معمولاً تمایل به خواص مکانیکی افزایش یافته دارند و به طور بالقوه می‌توانند به دلیل رسانایی و خواص ساختاری، اثربخشی محافظه الکترومغناطیسی را بهبود بخشدند. مکسن‌های با انتها اکسیژن مقاومت اکسایش قوی نشان می‌دهند و آنها را برای کاربردهای با دمای بالا مناسب می‌کنند (۳۷، ۳۶). وجود اکسیژن همچنین می‌تواند بر ساختار الکترونیکی تأثیر بگذارد و رسانایی را در مقایسه با مکسن‌های مبتنی بر کربن کاهش دهد (۳۸).

محاسبات نظری بیش از ۱۰۰ ترکیب بالقوه مکسن را پیش‌بینی کرده‌اند و بیش از ۴۰ ساختار در مقیاس آزمایشگاهی ساخته شده‌اند (۴۲)، نمایی از ساختارکلی مکسن در شکل ۲ ارائه شده است.

۲-۳- فلزات واسطه (M)

فلزات واسطه (M) در مکسن‌ها دارای خواص و عملکردهای متنوعی هستند. مکسن‌های مبتنی بر Ti تیتانیم رسانایی الکتریکی، استحکام مکانیکی و آب دوستی بالایی از خود نشان می‌دهند و عموماً در ذخیره انرژی (خازن) و به عنوان کاتالیست امیدوارکننده هستند (۱۹، ۱۵). مکسن‌های مبتنی بر نیوبیم (Nb) معمولاً پایداری حرارتی بیشتری را در مقایسه با همتایان مبتنی بر تیتانیم Ti نشان می‌دهند. همچنین به رسانایی بالا و عملکرد خوب در کاربردهای باتری معروف هستند و می‌توانند مقاومت اکسایش بهتری داشته باشند (۲۳-۲۰). مکسن‌های مبتنی بر زیرکونیم (Zr) خواص مکانیکی و پایداری خوب و خواص الکترونیکی جالبی را نشان می‌دهند و می‌توانند در کاربردهای الکترونیکی و الکتروشیمیایی استفاده شوند. همچنین زیرکونیم، تعادلی بین رسانایی و مقاومت در برابر اکسایش ایجاد می‌کند (۲۶-۲۴). مکسن‌های مبتنی بر وانادیم (V) فعالیت اکسایش و کاهش بالایی از خود نشان می‌دهند، که آنها را برای کاربردهای باتری و ابرخازن‌ها مناسب می‌کند. آنها می‌توانند عملکرد الکتروشیمیایی را افزایش دهند. اما در مقایسه با مکسن‌های تیتانیم و نیوبیم پایداری حرارتی کمتری دارند. مکسن‌های مبتنی بر مولیبدن (Mo) اغلب استحکام مکانیکی و هدایت حرارتی عالی را نشان می‌دهند. به خاصیت کاتالیزی شهرت دارند و می‌توانند در واکنش‌های الکتروشیمیایی موثر باشند. این گروه از مکسن‌ها می‌توانند حالت‌های اکسایش متنوعی داشته باشند که واکنش‌پذیری آنها را افزایش



شکل ۲: شماتیک از ساختار مکسن (۱۷، ۴۱، ۴۳).

Figure 2: Schematic images of the mxene structure (17, 41, 43).

در محیط‌های مختلف تأثیر می‌گذارد. پایانه‌های آمینه می‌توانند واکنش‌پذیری شیمیایی مکسن‌ها را افزایش داده و مکان‌های لنگر^۲ را برای عملکرد با پلیمرها یا مولکول‌های زیستی بهبدود بخشدند و آنها را برای کاربردهای زیست‌پزشکی امیدوار‌کننده می‌سازند (۳۹، ۴۰).

۳- سنتز مکسن‌ها

توسعه جامع از روش‌های سنتز مکسن برای کشف انواع جدید مکسن و بهبود عملکرد آنها انجام شده است. مسیرهای ساخت شیمیایی و فیزیکی مکسن‌ها بسته به ترکیبات مکسن مورد نظر می‌تواند بسیار متفاوت باشد. با این حال، در اکثر روش‌های سنتز مکسن‌ها از یک لوازم جانبی شیمیایی استفاده می‌کنند. مکسن‌ها نوعی از نانومواد با پیوندهای کووالانسی هستند که از عناصر واسطه اولیه و عناصر نیتروژن یا کربن تشکیل شده است. این یک اسکلت درون مولکولی را فراهم می‌کند که در آن لایه‌ها توسط پیوندهای هیدروژنی به هم متصل

۳- گروههای عملکردی (T)

T در فرمول مکسن به گروههای عملکردی سطحی اشاره دارد که واپسیه به شرایط سنتز و اصلاح ساختاری مکسن هستند. اکسیژن آب دوستی را افزایش می‌دهد و پراکندگی در آب را تسهیل می‌کند. پایانه‌های اکسیژن می‌توانند رسانایی الکترونیکی مکسن‌ها را افزایش دهند، اما ممکن است نقص‌هایی را نیز ایجاد کنند که می‌تواند بر پایداری کلی تأثیر بگذارد. فلورین خواص الکترونکشانی^۱ قوی را ارائه می‌دهد که می‌تواند پایداری مکسن را در برابر اکسایش بهبود بخشد. مکسن‌های فلوریدار اغلب آبگریزتر هستند. گروههای هیدروکسیل به برهمنکش قوی با آب کمک می‌کنند، بنابراین آب دوستی مکسن را افزایش می‌دهند. پایانه‌های هیدروکسیل همچنین می‌توانند عملکردۀای الکتروشیمیایی خاصی را افزایش دهند و در کاربردهای مانند ابرخازن‌ها موثرتر شوند. پایانه‌های کلر کمتر رایج هستند اما می‌توانند در حین سنتز وارد شوند. آنها مجموعه‌ای منحصر به فرد از خواص را ارائه می‌دهند که به طور بالقوه بر رسانایی و پایداری مکسن

²Anchorage

¹Electronegativity

حذف می‌شوند، شبکه شش ضلعی MX به جای شبکه مکعبی، حفظ می‌شود. از این رو، لایه M_nX_{n-1} را می‌توان با حذف اتم‌های A تولید کرد. ورق‌های نازک مکسن‌ها مانند مدل قبلی خود MAX، اغلب به صورت افقی جهت‌گیری می‌شوند. اکثر مکسن‌ها دارای ویژگی‌های مکانیکی خوبی هستند و احتمالاً کاملاً بادوام می‌باشند (۴۵).

۱-۳-۱- اچ کردن

مکسن‌ها را می‌توان به روش‌های مختلفی تهیه کرد. با توجه به تغییراتی که در روش‌های اچ کردن آنها ایجاد می‌شود، می‌توان گروههای عاملی انتهایی مختلفی را به اتم‌های M متصل کرد، تا انرژی آزاد گیبس سطح آن‌ها کاهش یابد. در واقع، ویژگی‌های سطح مکسن‌ها تأثیر زیادی از روش ساخت آنها می‌گیرد. در اینجا انواع مختلفی از روش‌های آماده سازی مورد بحث قرار می‌گیرد و در جدول ۱ قابل مشاهده است.

۱-۱-۱-۱- اچ کردن با هیدروفلوریک اسید (HF)

با توجه به تحقیقات عمیق در مورد مکسن‌ها روش‌های اچ کردن به طور گسترده‌ای مورد استفاده قرار گرفته‌اند، به ویژه روش اچ با اسید (HF)، که هنوز هم رایج‌ترین روش مورد استفاده است. در تحقیقی، ساخت فاز MAX از Ti_3AlC_2 ، Ti_3AlC_2 ، Al ، HF در سال ۲۰۱۱ پیشنهاد شد (۱۵). اسید HF با استفاده از یک فرایند جابجایی ساده، لایه‌های Al را از فاز MAX با Ti_3AlC_2 با تولید H_2 حذف می‌کند.

می‌شوند. از زمان کشف اولین مکسن، $Ti_3C_2T_x$ ، در سال ۲۰۱۱، بیش از ۲۰ نوع ماده مکسن از جمله M_2X ، M_3X_2 و M_4X_3 به طور متوالی تهیه شده است. به طور کلی، سه نوع روش در سنتز مکسن وجود دارد: اچ کردن، از بالا به پایین و پایین به بالا. در روش اچ کردن،^۱ عناصر A (A گروه IIA یا IVA و غیره است) که در شکل ۱ نشان داده شده است. از فازهای لایه سه بعدی اصلی MAX حذف شده و ساختار لایه‌ای مکسن‌ها شکل می‌گیرد. تا به حال، رایج‌ترین رویکرد برای سنتز مکسن‌ها روش از بالا به پایین شناخته شده است. برخلاف روش ساخت از پایین به بالا، که معمولاً به تعداد زیادی مواد پیش ساز نیاز دارد، مسیر ساخت سنتز از پایین به بالا به تعداد کمی مولکول/ اتم آلی یا معدنی در هنگام ساختن دقیق ساختار نیاز دارد. با استفاده از یک روش رشد بلوری، پیش‌سازها را می‌توان در یک نظام دو بعدی مشخص که ساختارهای مکسن را تشکیل می‌دهد، مونتاژ کرد. مزایای رویکرد پایین به بالا امکان کنترل دقیق توزیع اندازه، شکل و عملکردهای پایانه سطح مکسن‌ها را به روشی مناسب فراهم می‌کند (۴۴).

به طور معمول، مکسن‌ها به لایه‌های M_nX_{n-1} ($n=2, 3$) اشاره دارند که با حذف اتم‌های میان‌لایه A از فاز MAX فلز-سرامیک تشکیل شده‌اند (که در آن M مخفف فلزات واسطه است، A گروه IIA یا IV A است و X نشان‌دهنده عناصر C و N است). اتم‌های M و X را هم قرار می‌گیرند تا شبکه‌ای شش ضلعی را در فاز MAX تشکیل دهند که اتم‌های X مرکز قفس هشت‌وجهی M را اشغال می‌کنند که با لایه‌های آن مشترک هستند. هنگامی که اتم‌های A از لایه MnX_{n-1}

جدول ۱: روش‌های مختلف اچ کردن مورد استفاده برای به دست آوردن مکسن‌ها (۴۰).

Table 1: Different etching methods used to obtain maxens (40).

Type Of Method	Etchant	Temperature (oC)	Refs
Acid with fluorine	HF	Room temperature (RT) to 55	(15)
	H_2O_2+HF	40	(46)
	HCl + LiF	35-55	(49)
	HCl + (Na, K, or NH ₄ F)	30-60	(52)
	NH ₄ F ₂	RT	(53)
Molten salts	LiF+ NaF+ KF	550	(54)
Hydrothermal	NaBF ₄ , HCl	180	(55)
Electrochemical	NH ₄ Cl/TMAOH	RT	(56)
	HCl	RT	(57)
Lewis acid	ZnCl ₂	550	(58)

¹ Etching

انجام می‌گردد (۵۰). اج کردن یک فرایند کند است. Ti_3C_2Tx به دست آمده با اج کردن مستقیم با اسید هیدروفلوئوریک دارای مورفولوژی متفاوتی با $Ti_3C_2T_x$ است که با اج کردن با LiF/HCl به دست می‌آید. علاوه بر این، طیف‌سنجی NMR تعداد بیشتری از گروه‌های عاملی - OH و F- را بر روی سطح Ti_3C_2Tx نشان داد که توسط اسید هیدروفلوئوریک اج شده‌اند، در حالی که اج LiF/HCl را با گروه‌های عاملی عمدتاً - O ارائه می‌کند (۳۵). ساخت مکسن‌ها با اج کردن انتخابی توپوشیمیایی^۳ مواد پیش‌ساز، معمولاً فاز MAX شروع می‌شود. فازهای MAX کاربیدها و نیتریدهای لایه‌ای با ساختار بسته‌بندی شده شش ضلعی هستند (A) در MAX مخفف عنصر گروه A جدول تناوبی مانند Al, Si, Ga, است و نقش اساسی در کیفیت مکسن دارند (۵۱). اج کردن انتخابی با حذف اتم‌های لایه A از فاز MAX انجام می‌شود و با لایه‌برداری از قسمت‌های دوبعدی مکسن که به صورت آزاد روی هم چیده شده‌اند، ادامه می‌یابد.

۳-۴-۱-۳- اج کردن با نمک مذاب^۴

مکسن همچنین می‌تواند با حرارت دادن فازهای MAX، مانند Ti_4AlN_3 ، در مخلوط نمک فلورید مذاب (یعنی LiF , NaF , KF) نسبت وزنی ۲۹:۱۲:۵۹ در دمای ۵۵۰ درجه سانتی گراد تحت پوشش آرگون برای تولید Ti_4N_3 تولید شود. روش اج کردن را می‌توان در ۳۰ دقیقه کامل کرد. از آنجایی که $Ti_{n}N_{n-1}$ پایداری کمتری نسبت به Ti_nC_{n-1} دارد، می‌توان آن را در HF یا سایر اسیدهای مبتنی بر فلورید که به عنوان عامل اج استفاده می‌شود، سنتز کرد. روش اج کردن با نمک مذاب از مزیت زمان پردازش نسبتاً سریع برخوردار است. تبلور Ti_4N_3 لایه‌ای شده کمتر از مکسن است که از طریق اج با HF بدست می‌آید، همان‌طور که توسط الگوهای XRD نشان داده است، تبلور Ti_4N_3 لایه‌ای شده کمتر از مکسن است که از طریق اج کردن با به دست می‌آید. در محصول به دست آمده نیز فاز TiO_2 قابل مشاهده است. در مقایسه با اج کردن با هیدروفلوئریک اسید (HF) و اسیدهای مبتنی بر فلورید، فرایند اج کردن نمک‌های مذاب از مزایای بیشتری برخوردار است و مشکل تولید مکسن‌ها با پایداری محدود در محلول HF یا اسیدهای مبتنی بر فلورید را ندارد. این روش، از سوی دیگر، دارای معایب زیر است:

- (الف) فرایند اج کردن مقدار قابل توجهی گرما و انرژی مصرف می‌کند.
- (ب) مکسن‌های حاصل خلوص و بلورینگی کم را نشان می‌دهند.
- (ج) مکسن‌های حاصل دارای عیوب سطحی و جای خالی فراوان هستند.

(۵۹)

علاوه بر این، واکنش آب دیونیزه شده با محلول اسید HF باعث تولید Ti_3C_2Tx که T نشان دهنده OH- و F- است و همچنین H_2 است، می‌شود. اج کردن اسید HF برای جداسازی موققیت آمیز، $(V_{0.5}Cr_{0.5})_2AlC_2$, Ta_4AlC_3 , Ti_3AlCN , $(Ti_{0.5}Nb_{0.5})_2AlC$, $M_3AlC_5Zr_3Al_3$ ، Nb_2AlC ، و مجموعه ای از کمپلکس‌های MAX از $Ti_{0.5}Nb_{0.5}$ استفاده شد (۴۶). اج کردن اسید HF از سال ۲۰۱۱ تا به امروز به طور مداوم مفیدترین فرایند سنتز برای مواد مکسن بوده است. در فرایند اج کردن اسید HF، دوره زمانی، دما و چگالی یون‌های F نقش مهمی در طراحی لایه‌های مکسن‌ها با کیفیت بالا ایفا می‌کنند. در تحقیقی تأیید شد که Ti_3C_2Tx با اسید HF با غلظت بالا، ساختار لایه‌ای عالی ایجاد می‌کند که دست‌تیابی به آن با محلول‌های اسیدی دیگر دشوار است. مکسن‌هایی به دست آمده از طریق روش اج کردن با اسید HF و بیشگی‌های سطحی متحصر به فرد خود را همراه با عملکردهای OH-, F- حفظ کردند (۴۷).

۳-۲-۱-۳- روش اصلاح اسید اج کردن^۱

محلول‌های اسید فلورید دارای خواص خوب‌تر و سرمی هستند و به همین دلایل، محققان در حال یافتن تکنیک‌هایی برای جلوگیری از استفاده مستقیم اسید HF برای استخراج لایه‌های Al از فازهای MAX هستند. مهمترین رویکرد، که به عنوان اج کردن اسید HF در مرحله اصلی سنتزه می‌شود، اسید HF را با نمک‌های فلورید (به عنوان مثال، LiF , NaF , KF , FeF_3 , NH_4HF_2) جایگزین می‌کند. معمولاً در طی سنتز مکسن‌ها از طریق اج کردن لایه‌های آلومینیوم Al یا گالیم Ga فاز MAX توسط اسید HF، یک محصول جانبی ناخواسته (یعنی $AlF_3 \cdot 3H_2O$) تشکیل می‌شود. برای سنتز مکسن‌ها عاری از این ناخالصی، لازم است عوامل آغاز کننده تشکیل آن روش شوند. بنابراین، روش‌های اج اصلاح شده به طور گستره ای مورد استفاده قرار می‌گیرند. به عنوان مثال، در تحقیقی استنباط شد که برای کنترل تشکیل محصول جانبی $AlF_3 \cdot 3H_2O$ ، فرایند اج کردن با فلورید کبالت (به عنوان مثال) CoF_2/CoF انجام می‌شود (۴۸).

فالله ای مکسن‌ها که از طریق روش اصلاح شده اسید اج کردن ایجاد می‌شود، به دلیل درهم‌آمیزی کاتبیون، که نیروی داخلی بین لایه‌ها را به حداقل می‌رساند، بهبود می‌یابد، و به طور بالقوه لایه‌های مواد را در طول فرآصوت لایه‌بندی می‌کند. در نتیجه، این رویکرد زمان بر قبلی را کوتاه می‌کند (۴۹).

۳-۱-۳- تشكیل HF در محل

استفاده از مخلوطی از نمک‌های فلورید مانند (LiF) و اسیدهایی مانند (HCl) برای تولید (HF) به روشنی کنترل شده و به دنبال آن لایه‌برداری

¹ Modified fluoride-based acid etching² Topochemical³ Molten salt

سیاه، $\text{g-C}_3\text{N}_4$ و دیگر پیش‌سارهای توده‌ای سه‌بعدی و دو بعدی با استفاده از روش بالا به پایین، به طور موثر به نقاط کوانتمومی تبدیل شده‌اند. آسیاب گلوله‌ای، اچ کردن شیمیایی، الکتروشیمیایی (۶۴)، عملیات هیدروترمال/حال گرمایی، فراصوت، تبلش مایکروویو و سایر روش‌ها از جمله این روش‌ها هستند. اکثر رویکردهای بالا به پایین، عملکردهای اولیه حاوی O_2 را بر روی سطح کاتالیست‌ها ایجاد می‌کنند که ایجاد نقص در کاتالیست‌ها را تسهیل می‌کند. نقص‌های سطحی به عنوان مکان‌های واکنشی عمل می‌کنند و به مولکول‌های حجیم اجازه می‌دهند تا به ذرات کوانتمومی کوچک تقسیم شوند (۶۵). این تکنیک از اهمیت بالایی برخوردار است زیرا می‌توان آن را در دماهای پایین کار کرد. علاوه بر این، می‌توان از مواد خام فراوان در این روش استفاده کرد و تولید در مقیاس بزرگ با این روش امکان پذیر است.

۲-۱-۳- رویکرد هیدروترمال

این یک رویکرد واکنشی ناهمگن است که شامل حرارت دادن محلول‌های آبی بالای نقطه جوش آب در یک اتوکلاو فشار بالا حاوی مواد پیش ساز است. اثر هم افزایی دما، فشار بالا و pH محلول می‌تواند برای تغییر اندازه، شکل، ریخت و خواص کوانتموم دات^۴ مورد استفاده قرار گیرد (۶۶). علاوه بر این، pH محلول، دمای واکنش و دوره زمانی نقش حیاتی در تولید مکسن دارند. برای سنتز مکسن، دمای واکنش ۱۰۰ تا ۱۸۰ درجه سانتی‌گراد و pH در مقدار ۶ تا ۹ استاندارد نگه داشته می‌شود (۶۷)، زیرا مدت زمان واکنش تحت تأثیر pH و دما است. علاوه بر این، با تنظیم شرایط واکنش گرمایی، می‌توان اندازه، خواص و ضخامت ماده را تغییر داد.

۲-۲-۳- رویکرد حلال گرمایی^۵

فرایند حلال گرمایی ساده و کارآمدتر از روش هیدروترمال است و به طور گسترده برای ساخت مکسن استفاده شده است. این شبیه به فرایند هیدروترمال است با این تمايز که به جای آب، از یک حلال آبی غیرآبی برای ساخت با پیش‌سارها استفاده می‌شود. از آنجایی که اندازه، توزیع و تبلور مواد را می‌توان به طور دقیق در صورت نیاز تنظیم کرد، روش حلال گرمایی در مقایسه با روش هیدروترمال موفق تر و سازگارتر در نظر گرفته می‌شود (۵۵). علاوه بر این، با تنظیم عوامل آزمایشی مانند دمای واکنش، مدت زمان و نوع حلال، می‌توان نتیجه موردنظر را به دقت تنظیم کرد.

۲-۳-۳- رویکرد آسیاب گلوله‌ای^۶

در رویکرد آسیاب گلوله‌ای، QD کوانتموم دات‌های مختلف با موقوفیت از ساخته شده‌اند که روشی است که به طور گسترشده از بالا به پایین برای

با این وجود در پژوهشی سنتز $\text{MS-Ti}_3\text{C}_2\text{T}_x$ از طریق ترکیب هیدروکسید تترابوتیلامونیوم (TBAOH) و به دنبال آن جداسازی لایه از طریق فراصوت گزارش شد. با پایانه کلر به دست آمده به عنوان آند در باتری لیتیم یونی مورد استفاده قرار گرفت که به ظرفیت ویژه بالا و قابلیت نرخ استثنایی دست یافته است (۶۰).

۳-۱-۵- اچ کردن بدون فلورید^۱

اگرچه چندین شرایط اچ برای سنتز مکسن تایید شده است، اکثر روش‌های سنتز به HF یا مواد شیمیایی مبتنی بر فلورید نیاز دارند، که ممکن است منجر به ایجاد انتهایی $\text{-O}-$ در سطح مشترک مکسن شود. به طور خاص، پایانه‌های F- عملکرد الکتروشیمیایی ابرخازن‌های مبتنی بر مکسن‌ها را کاهش می‌دهد (۶۱). بنابراین، روش‌های ساخت بدون فلورید برای ارائه عملکردهای الکتروشیمیایی قابل قبول ضروری است. یون F⁻ متصل به سطح به طور قابل توجهی مانع از حمل و نقل یون‌های الکترولیت می‌شود و مکان‌های فعل الکتروشیمیایی را قربانی می‌کند، که منجر به عملکرد پایین مکسن‌ها برای کاربرد در باتری‌های لیتیم و ابرخازن‌ها می‌شود (۶۲, ۶۳). بنابراین، ساخت مکسن‌ها با استفاده از روش‌های بدون F بسیار مطلوب است.

۳-۱-۶- اچ کردن الکتروشیمیایی^۲

اچ کردن الکتروشیمیایی روشی جهت سنتز مکسن است که از فازهای MAX با حذف انتخابی عناصر لایه A استفاده می‌شود. در این فرایند از یک سلول الکتروشیمیایی با فاز MAX به عنوان آند، یک ماده بی اثر به عنوان کاتد و در صورت تمایل یک الکترود مرجع استفاده می‌شود. الکترولیت حاوی یون‌های فلورید ناشی از HF یا نمک‌های فلورید در محلول‌های اسیدی هستند. در طول فرایند، یک پتانسیل مثبت به فاز MAX اعمال می‌شود و عناصر لایه A را اکسید می‌کند و با کمک یون‌های فلورید آنها را در الکترولیت حل می‌کند. پتانسیل زمان اچ کردن عوامل مهمی هستند که برای اطمینان از حذف کامل لایه A بدون آسیب رساندن به لایه‌های MX، به بهینه سازی دقیق نیاز دارند. در حین اچ کردن، یون‌های الکترولیت بین لایه‌های MX قرار می‌گیرند و ساختار را تثبیت می‌کنند.

۳-۲-۳- رویکردهای بالا به پایین^۳

برای مدت طولانی، استراتژی از بالا به پایین، به ویژه در سنتز و طراحی نانومواد، به خوبی تثبیت شده است. این روش اغلب شامل برش مواد پیش‌ساز حجیم دو بعدی یا سه بعدی به ذرات کوانتمومی ضروری هستند. گرافیت، نانولوله‌های کربنی، گرافن، بلورهای MoS_2 ، پودر WS_2 ، فسفر

¹ Fluoride-free etching

² Electrochemical etching

³ Top-down approaches

و حل گرمایی برای کوتاه کردن زمان واکنش و افزایش بازده بسیار موثر است (۷۰).

۳-۵-۵- مزایا و معایب روش سنتز بالا به پایین مکسن
مزیت تهیه مکسن‌ها با روش‌های سنتز بالا به پایین این است که اولاً این روش‌ها مقیاس‌پذیرند و برای اکثر فازهای MAX قابل استفاده است. ثانیاً می‌توان با این روش‌ها مقدار زیادی مکسن‌ها به سرعت تولید کرد و نهایتاً به خوبی با انواع گزینه‌های اج کردن ثبت می‌شوند (۷۰).

۳-۶- رویکردهای پایین به بالا^۱
رویکردهای پایین به بالا از مواد مولکولی به عنوان پیش‌سازها استفاده می‌کنند. همچنین می‌توان از روش‌های پایین به بالا برای ساخت مکسن کوانتوم دات MQD از پیش‌سازهای کوچک مول‌های آلی و معدنی استفاده کرد. رویکردهای پایین به بالا دارای تعدادی مزیت هستند، از جمله استفاده اتمی بیشتر، کنترل ساختار و ریخت و عملکرد سریعتر، از جمله مواردی که به کوانتوم دات QDها ساختار و خواص بهتری می‌دهند (۷۱، ۷۲). تحقیقات قبلی یک پایه عالی برای آماده سازی مکسن از پایین به بالا فراهم می‌کند. با این حال، برای ساخت در مقیاس بزرگ، پیش‌سازهای ساده و بسیار کارآمد با سمیت کم، شرایط واکنش ملایم، بلورینگی عالی، تک پراکندگی و بازده بالا باید پوشانده شوند. در همین حال، به دلیل شرایط عملیاتی نسبتاً ساده آنها در مقایسه با روش‌های بالا به پایین، روش‌های یک طرفه از پایین به بالا احتمالاً برای آماده سازی مکسن در آینده برای برآوردن الزامات برنامه افزایشی استفاده خواهد شد، همان‌طور که تحقیقات کمی وجود دارد (۶۶، ۷۰).

۳-۷- سنتز نمک مذاب^۲
به دلیل سهولت استفاده و زمان واکنش کوتاه، فرایند سنتز نمک مذاب اخیراً مورد توجه قرار گرفته است. چنگ^۳ و همکارانش با استفاده از استیل استونات مولیبدن به عنوان پیش‌ماده یک کامپوزیت Mo₂C/کوانتوم دات /نانوصفه کربنی سنتز کردند. در یک سنتز معمولی، پیش‌ساز استیل-استونات مولیبدن، NaCl و یک مخلوط ساکارز به مدت ۲ ساعت در دمای ۸۰۰ درجه سانتی‌گراد در یک محیط هوا تکلیس شدند.

۳-۸- پیرولیز^۴
پیرولیز یک روش شناخته شده از پایین به بالا برای مکسن است، زیرا یک روش صرفه‌جویی در زمان، آسان و از نظر زیست محیطی بی‌خطر است.

کاهش اندازه نانوذرات استفاده می‌شود. ویژگی‌های فیزیکی و شکل مواد تولید شده تحت تأثیر عوامل مختلفی مانند نوع آسیاب (تر یا خشک)، سرعت آسیاب، نسبت وزن گلوله به پودر و مدت زمان آسیاب می‌باشد. در تحقیقی از روش آسیاب گلوله‌ای برای ساختن نانو نقطه‌های Ti₃C₂T_x مکسن با اندازه‌های مختلف با مخلوط کردن Ti₃C₂T_x با پیش‌سازهای مختلف حالت جامد مانند P قرمز، Si C و Si استفاده کرد (۶۸). در طی این فرایند، تشکیل پیوند TiO_x اتفاق می‌افتد، که باعث لایه لایه شدن و کاهش اندازه ذرات مکسن Ti₃C₂T_x می‌شود، که توسط استحکام پیوند OX کنترل می‌شود. هرچه برهم‌کنش OX قوی‌تر باشد، اندازه ذرات کوچک‌تر خواهد بود.

۳-۹- روش فracisot^۵
تکنیک فracisot یک روش سازگار با محیط‌زیست و بدون خطر است که برای ساخت کوانتوم دات‌های مکسن استفاده می‌شود. با توجه به آکوستیک^۶ و کاویتانسیون^۷ فracisot مواد لایه‌ای و همچنین بدون لایه را به کوانتوم دات تبدیل می‌کند. در این روش، ویژگی‌های ذاتی مواد به طور موثر حفظ می‌شود. حللاهایی مانند دی‌متیل سولفوکسید (DMSO)^۸، دی‌متیل فرم‌آمید (DMA)^۹، N-متیل-۲-پیرولایدون^{۱۰} و تترا-بوتیلامونیوم هیدروکسید (TBAOH)^{۱۱} با نقاط جوش و انرژی‌های سطحی بالا، می‌توانند بر نیروی اتصال مواد حجیم غلبه کرده و آنها را به QDهای بسیار پراکنده و با اندازه کوچک تبدیل کنند. در تحقیقی برای تولید Ti₃AlC₂ مکسن مستقیماً از فاز MAX، از روش‌های لایه برداری به کمک اج و لایه‌برداری مایع با کمک نیروی مکانیکی با حللا استفاده شد (۶۹). ذرات حجیم Ti₃AlC₂ در طی درمان فracisot به ذرات کوچک‌تر بالهای و مکان‌های سطحی جدید تجزیه می‌شوند. با درمان گروه OH با یک حللا، این مکان‌ها به عنوان Al(OH)^{۱۲} حذف شدند. در همین حال، تشکیل صفحات مکسن ایزوله صورت گرفت (۶۹). سپس این صفحات از طریق فracisot حمام به مکسن تبدیل شدند. ضخامت و متوسط اندازه جانی MQD‌های به دست آمده به ترتیب ۰/۶ و ۴/۹ نانومتر بود. حللاهای آلی با نقطه جوش بالا، قبل از استفاده در محیط‌های آبی از طریق روش فracisot، نیاز به درمان گسترش دارند. تبخیر چرخشی در دمای بالا به عنوان پس از درمان بر قابلیت‌های نوری و کاتالیزی نقاط کوانتومی تأثیر می‌گذارد. در نتیجه، روش‌های سنتز مکسن در یک محیط آبی توجه زیادی را به خود جلب کرد. علاوه بر این، استفاده گسترش ده به دلیل روش فracisot طولانی و بازده خروجی کم چالش برانگیز است. در نتیجه، ترکیب روش فracisot با روش‌های گرمایی

^۱ Ultrasonic

^۲ Acoustic

^۳ Cavitation

^۴ Dimethyl sulfoxide

^۵ Dimethylformamide

^۶ N-methyl-2-pyrrolidone

به طور کلی مکسن‌ها را می‌توان به صورت پودر چند لایه یا محلول‌های کلوبنیدی تک پوسته تهیه کرد (۴۰). ML مکسن‌ها از پشتهدانی مکسن که به صورت لایه‌ای متصل شده‌اند، ساخته‌می‌شوند، در حالی که مکسن‌های کلوبنیدی از لایه برداری ML مکسن‌ها به مکسن‌های تک پوسته، به دست می‌آیند (۴۷).

چهار فرمول ترکیبی مختلف مکسن‌ها به عنوان $M_3X_2T_x$, M_2XT_x , $M_5X_4T_x$ و $M_4X_3T_x$ سنتز شده‌اند. تحقیقات روی مکسن‌ها به سرعت در حال پیشرفت است و تلاش‌های مداومی برای سنتز و توصیف ترکیبات و ساختارهای جدید وجود دارد. ممکن است ترکیبات یا تغییرات بیشتری ظاهر شده باشد یا تا سال ۲۰۲۶ سنتز شود. ماهیت پویایی علم مواد به این معنی است که اکتشافات جدید می‌توانند مکرراً اتفاق بیفتد و محققان کاوش در ترکیبات مختلف را ادامه می‌دهند (۷۶). روش‌های سنتز مکسن در شکل ۳ خلاصه شده است.

۴- فرایند فوتوکاتالیز

فوتوکاتالیز فرایندی است که در آن از انرژی نور برای هدایت واکنش‌های شیمیایی بر روی سطح کاتالیست استفاده می‌شود. در واقع با دسته‌ای از واکنش‌های اکسایش-احیا گونه‌های فعالی تولید می‌شوند که این گونه‌ها واکنش فوتوکاتالیزی را پیش می‌برند.

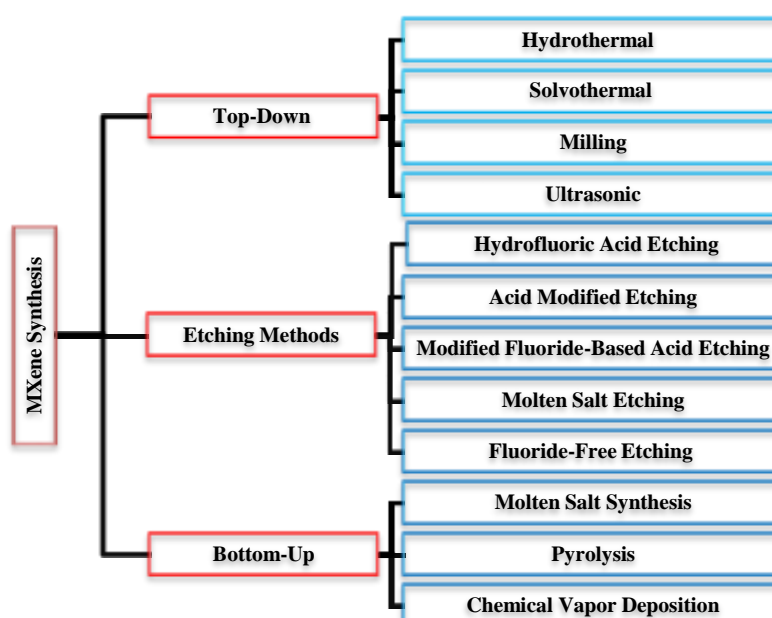
وانگ^۱ و همکارانش کامپوزیت‌های چند وجهی QDs-Mo₂C کربن را از طریق یک روش تجزیه در اثر حرارت ساده ساخت (۷۴). به طور خلاصه، Mo/ZIF-8 از طریق روش حلال گرمایی سنتز شد و سپس در دمای ۷۰۰°C به مدت ۲ ساعت در یک محیط آرگون قبل از اجشدن با اسید، پیرولیز شد. در رویکردهای پایین به بالا، پیش‌سازهای مولکولی با انتخاب منابع عناصر و همچنین عوامل واکنش مانند زمان واکنش، دما و غلظت پیش ماده، در سنتز کواتوم دات‌ها بسیار مهم هستند. این رویکرد در مقایسه با روش‌های بالا به پایین، کارآمد، ساده و پراکنده است و دارای بازده بالا، بلورینگی بهبودیافته و شرایط نرمال مورد نیاز برای واکنش‌ها می‌باشد. با این حال، تحقیقات بسیار کمی در مورد سنتز مکسن انجام شده است. این رویکردها در آینده نزدیک مورد توجه بیشتری قرار خواهد گرفت تا نیاز به کاربردهای افزایشی را برطرف کند (۷۰، ۷۵).

۳-۳-۳- نهشت بخارشیمیایی (CVD)

گازهای پیش‌ساز (هالیدهای فلزی و منابع کربن/انیتروژن) روی یک بستر در دمای بالا واکنش داده و لایه‌های نازک مکسن را تشکیل می‌دهند. برای مثال فیلم‌های Mo₂C روی یک بستر مسی رشد می‌کنند.

۴-۳-۳- رشد با الگو^۲

یک الگوی مشخص (مثالاً یک بستر دو بعدی) رسوب لایه‌های مکسن را هدایت می‌کند که سپس جدا می‌شوند. مکسن‌های تک لایه فرضی مانند W₅N₆ مستقیماً روی یک بستر رشد می‌کنند.



شکل ۳: روش‌های متعدد سنتز مکسن‌ها (۷۰).

Figure 3: Various methods for synthesizing mxenes (70).

³growth on patterned substrates

¹Wang

² Chemical vapor deposition

تجمع سطح موجود را کاهش می‌دهد، بنابراین روش‌های به حداقل رساندن آن حیاتی است.

۴-۲- انواع فوتوكاتالیست

فوتوكاتالیست‌ها به دو دسته همگن^۱ و ناهمگن^۲ تقسیم می‌شوند. محدودیت‌ها و چالش‌های فوتوكاتالیست‌های تک جزیی (همگن) اولیه، مانند پاسخ طیفی محدود، نرخ نوترکیبی بالا، انتخاب‌پذیری ضعیف و عدم ثبات، منجر به توسعه رویکردهای پیشرفت‌تر برای افزایش کارایی واکنش‌های فوتوكاتالیزی شده است. یکی از این روش‌ها، فوتوكاتالیست‌های ناهمگن است که می‌تواند به طور موثر بر محدودیت‌های فوتوكاتالیست‌های تک‌جزیی غلبه کند و کارایی کلی واکنش‌های فوتوكاتالیزی را افزایش دهد (۹۳-۹۱). فوتوكاتالیست‌های ناهمگن ممکن است با کنترل جداسازی و انتقال حامل‌های بار بین مواد مختلف، گزینش‌پذیری بهبودیافته واکنش‌های فوتوكاتالیزی را ارائه دهند (۹۵-۹۴). همچنین می‌تواند به عنوان یک مانع عمل نماید و از ترکیب مجدد بارهای تولید شده توسط نور جلوگیری نماید و امکان جداسازی و انتقال آنها به مکان‌های کاتالیزی خاص را فراهم کند که منجر به راندمان بالاتر واکنش می‌شود. این خصوصیات، فوتوكاتالیست‌های ناهمگن را به یک رویکرد بسیار امیدوارکننده برای بهبود کارایی و عملکرد واکنش‌های فوتوكاتالیزی و رفع محدودیت‌های فوتوكاتالیست‌های تک جزئی تبدیل می‌کند (۹۶).

۴-۱- فوتوكاتالیست‌های ناهمگن‌های نوع I، II و III
ناهمگن نوع I در شکل ۴ یکی از انواع مختلف اتصالات ناهمگن است که در آن لبه‌های نواری یکی از نیمه‌هادی‌ها در نیمه‌هادی دیگر قرار دارد. در این نوع اتصالات ناهمگن، انتقال بارهای تولید شده از نیمه‌هادی I (SC I) به نیمه‌هادی II (SC II) صورت می‌گیرد. با این حال، یک اشکال قبل توجه این نوع اتصال ناهمگن کاهش پتانسیل اکسایش-کاهش ناشی از تجمع بارهای تولید شده بر روی یک نیمه‌هادی با پتانسیل اکسایش-کاهش کمتر است.

در اتصالات ناهمگن نوع II (شکل ۵)، لبه‌های نوار ظرفیت (VB) SC I و نوارهای اتصال (SC II/CB) آرایش مبهم را نشان می‌دهند. این نوع اتصال امکان انتقال حفره‌های ایجاد شده را به نیمه‌هادی از نوار ظرفیت (I) به نوار ظرفیت (II) می‌دهد که دارای لبه نوار ظرفیت مثبت کمتر است. در حالی که انتقال الکترون‌های تولید شده مشابه به نیمه‌هادی که دارای لبه نوار هدایت منفی کمتری است از نوار هدایت (II) به نوار هدایت (I) منتقل می‌شود. این نوع اتصالات ناهمگن باعث جداسازی بهتر بارهای تولید شده و بهبود فعالیت کاتالیزی آنها می‌شود (۹۷، ۹۸).

واکنش‌های فوتوكاتالیزی، به خصوص فوتوكاتالیزی ناهمگن در مقایسه با فناوری‌های تصفیه مرسوم از جمله جذب (۸۰-۷۷)، جداسازی غشا (۸۲)، نهشت بخار شیمیایی (۸۳) و فرایندهای زیستی (۸۴) دارای مزایای زیادی هستند، که در ادامه ذکر شده است:

- (۱) استفاده از نور خورشیدی، که یک منبع پایدار است.
- (۲) سرعت واکنش سریع و مصرف انرژی کم.
- (۳) شرایط واکنش ملایم‌تر نسبت به کاتالیزی حرارتی سنتی.

بنابراین، استفاده از انرژی خورشیدی برای از بین بردن چندین آلاینده زیست محیطی از دیدگاه صرف‌جویی در انرژی و اصلاح زیست محیطی حائز اهمیت است. تا به امروز، هزاران مطالعه در مورد تصفیه فوتوكاتالیزی آلاینده‌های مختلف گزارش شده است و مطالعات جدید به طور فزاینده‌ای در این زمینه انجام می‌شود. تعداد مقالات مجلات در مورد تخریب فوتوكاتالیزی به طور قابل توجهی در ۲۰ سال گذشته افزایش یافته است. اخیراً، محققان نیمه‌هادی‌های متعددی مانند نیمه‌هادی‌های اکسیدفلز (MO_x) (۸۵)، نیمه‌هادی‌های پلیمری (BBS) (۸۶، ۸۷)، چارچوب‌های فلزی-آلی (MOFs) (۸۸، ۹۰) و نیمه‌هادی‌های سولفید فلزی را برای از بین بردن عناصر مختلف ساخته‌اند. علاوه‌براین، راهبردهای اصلاح مختلفی از جمله ساخت سیستم‌های اتصال ناهمگن، مهندسی نقش و بارگذاری کاتالیست کمکی پیشنهاد شده‌اند. با این حال، هنوز چالش‌های اساسی نظیر هزینه بالای نیمه‌رسانها، نرخ بهره‌برداری کمتر از انرژی خورشیدی و بازترکیب سریع جفت‌های الکترون-حفره تولید شده با نور وجود دارد، که مانع از کاربردهای زیست محیطی در مقیاس بزرگ این فناوری می‌شود. شکاف دانش مهم دیگر این است که سازوکار و سینتیک جامع و ترمودینامیک فوتوكاتالیز هنوز به طور کامل درک نشده است. در نتیجه، لازم است راهبردهای اصلاح نیمه‌هادی‌ها در فوتوكاتالیز برای حذف آلاینده‌های مختلف زیست محیطی به طور گسترده مورد بررسی قرار گیرد (۹۰، ۱۳).

۴-۲- تاثیر روش سنتز بر فعالیت فوتوكاتالیزی
پایانه‌های ایجاد شده در سطح مکسین در روش‌های سنتز متفاوت، متنوع است. در اج‌کردن HF، پایانه‌های F⁻ و HO⁻ ایجاد می‌شوند که بر انتقال و فعالیت بار تأثیر می‌گذارند. اج‌کردن نمک فلورید کنترل بهتری را ارائه می‌دهد که منجر به خلوص و رسانایی بالاتر می‌شود. همچنین اج‌کردن شدید باعث ایجاد نقش‌هایی می‌شود که به عنوان مراکز نوترکیبی عمل می‌کنند، در حالی که این نقش‌ها کنترل شوند، می‌توانند جهت فرایند فوتوكاتالیست مفید باشند. اج‌کردن/لایه‌برداری اندازه نانو ورق را تعیین می‌کند. ورق‌های کوچک‌تر باعث افزایش سطح می‌شوند.

¹ Homogeneous

² Heterogeneous

۱-۲-۲-۴- فوتوکاتالیست‌های طرح Z^۱

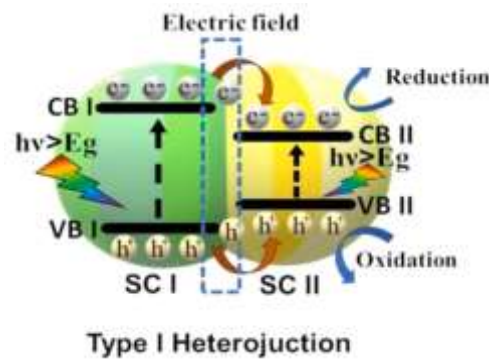
فوتوکاتالیست شامل زوج‌های میانی مانند ($\text{Fe}^{3+}/\text{Fe}^{2+}$) برای ایجاد کanal انتقال الکترون بین دو نیمه رسانای مختلف برای افزایش کارایی جداسازی بار و در نتیجه توانایی اکسایش-کاهش است (۹۰، ۸۵). دو نیمه‌هادی دارای سطوح انرژی متفاوتی هستند و در یک فرایند ایده آل، از الکترون‌های یکی از دو نیمه‌هادی برای کاهش زوج‌های میانی استفاده می‌شود، در حالی که از سوراخ‌های نیمه‌هادی دیگر برای اکسید کردن آنها استفاده می‌شود. با این حال، این سیستم به راه حل‌ها محدود می‌شود و دارای چندین معایب از جمله نیاز به جفت یون اکسایش-کاهش و پتانسیل واکنش‌های جانی یا برگشتی است (۱۰۲، ۹۶).

۱-۳-۲-۴- فوتوکاتالیست‌های تمام حالت جامد طرح Z

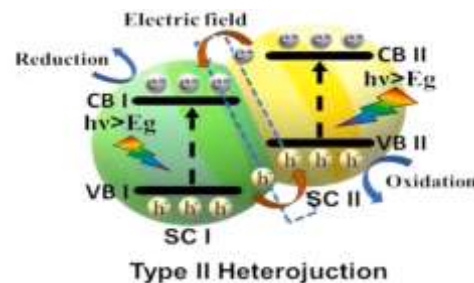
پیشرفت‌های اخیر در فرایند فوتوکاتالیز، توسعه یک فوتوکاتالیست با طرح Z حالت جامد است. هدف این رویکرد نوآورانه غلبه بر محدودیت‌های معین طرح Z مرسوم با استفاده از یک هادی جامد به جای زوج‌های میانی است (۳۸-۳۳). این اجزه می‌دهد تا سیستم در فاز مایع یا گاز مورد استفاده قرار گیرد و طول انتقال بار را برای سرعت بخشیدن به فرایند انتقال شارژ کوتاه می‌کند. با این حال، توسعه یک طرح Z تمام حالت جامد در عمل نیاز به فرایند‌های سنتز پیچیده و بسیار کنترل شده دارد، زیرا کنترل مکان ذرات فلزی، یعنی قراردادن آنها بین دو نیمه‌هادی، اگر غیرممکن نباشد، بسیار دشوار است. بنابراین، مسائل مربوط به طرح سنتی Z را حل نمی‌کند (۱۰۴، ۱۰۳).

۱-۴-۲-۴- فوتوکاتالیست‌های مستقیم طرح Z^۲ یا طرح S

یک پیشرفت جدیدتر در حوزه فوتوکاتالیست، فوتوکاتالیست مستقیم طرح Z است (شکل ۷). این توسعه نوآورانه به ذنبال غلبه بر محدودیت‌های مرتبط با فوتوکاتالیست‌های سنتی طرح Z است. برخلاف نسل‌های قبلی، فوتوکاتالیست‌های مستقیم طرح Z بدون نیاز به زوج‌های میانی یا هادی کار می‌کنند. اگرچه فوتوکاتالیست مستقیم طرح Z قابلیت‌های اکسایش-کاهش قابل توجهی را نشان می‌دهد و عملکردی استثنایی در تسهیل واکنش‌های نوری ارائه می‌دهد، اما محققان در مورد سازوکار فوتوکاتالیست مستقیم با طرح Z محققان سردرگمی پیرامون سازوکار فوتوکاتالیست مستقیم با طرح Z رفع به رهبری جیاگو یو، اصطلاح فوتوکاتالیست طرحواره S را ابداع کردند (۱۰۵). وقتی نور به فوتوکاتالیست می‌تابد، هر دو ماده (I) و ماده (II) نور را جذب می‌کنند. این باعث تحریک الکترون‌های آنها و جفت‌هایی از الکترون-حفره می‌شود.



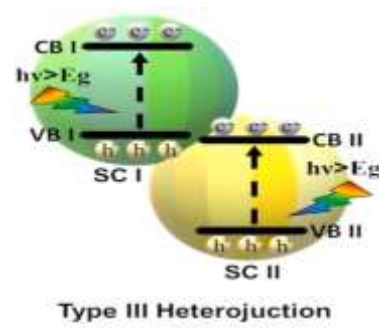
شکل ۴: اتصالات ناهمگن نوع I (۹۶).
Figure 4: Type I heterogeneous connections (96).



شکل ۵: اتصالات ناهمگن نوع II (۹۶).
Figure 5: Type II heterogeneous connections (96).

با این حال، بارهای تولید شده با ظرفیت اکسایش - کاهش کمتر به نیمه‌هادی‌ها منتقل می‌شوند و در نتیجه ظرفیت اکسایش - کاهش کمتری دارند.

در اتصالات ناهمگن نوع (III) (شکل ۶)، فاصله باند بین دو ماده به قدری زیاد است که هیچ انتقال باری بین این نیمه‌هادی وجود ندارد. بنابراین، این نوع پیوند ناهمگون برای کاربردهای فوتوکاتالیزی، کمتر مطلوب است (۱۰۱-۹۹).

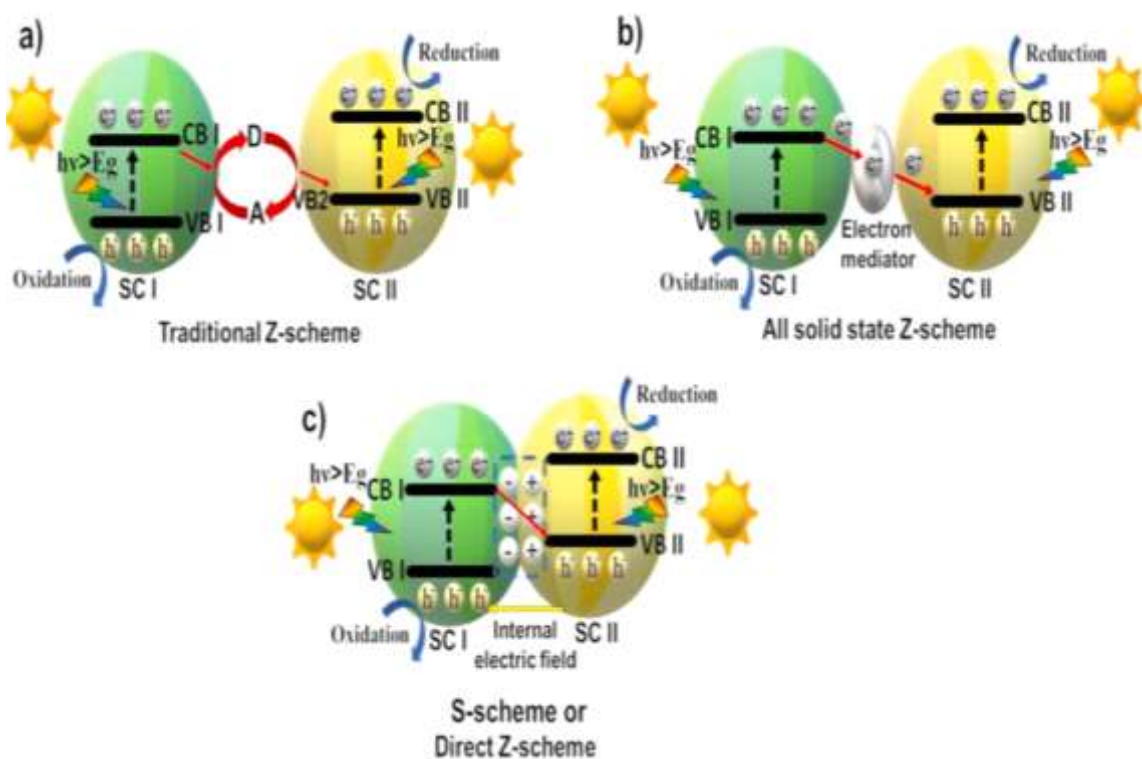


شکل ۶: اتصالات ناهمگن نوع III (۹۶).
Figure 6: Type III heterogeneous connections (96).

³ Direct Z-scheme or S-scheme

¹ Z-scheme

² All-solid-state Z-scheme



شکل ۷: (a) طرح Z سنتی، (b) تمام حالت جامد طرح Z یا طرح Z مستقیم (۹۶).
Figure 7: a) Traditional Z-design, b) All-solid Z-design, and c) S-design or direct z-design (96).

ناچیز تولید شده نوری تحت نوترکیبی قرار می‌گیرند که منجر به ایجاد یک پتانسیل اکسایش-کاهش قوی می‌شوند (۱۰۶، ۱۰۷).

۵- کامپوزیت‌های مکسن‌ها در فرایند فتوکاتالیزی برای حذف رنگ‌ها و آلاینده‌های دیگر

با توجه به شکل و ساختار مواد کامپوزیتی، ساختارهای ناهمگن دوبعدی/دوبعدی فعالیت فتوکاتالیزی بیشتری نسبت به ساختارهای ناهمگن یک بعدی/صفربعدی و یک بعدی/صفربعدی تحت شرایط مشابه نشان می‌دهند. به این دلیل که ساختارهای ناهمگن دو بعدی/دوبعدی سطح تماس بین دو ماده را به حداقل می‌رسانند در حالی که به طور همزمان مکان‌های فعال سازی واکنش سطحی اضافی را برای فتوکاتالیز ارائه می‌دهند. ادغام مکسن‌ها در سیستم‌های کامپوزیتی از مزایای ساختاری آنها برای افزایش تخریب فتوکاتالیزی رنگ‌ها استفاده می‌کند. هنگامی که با یک نیمه رسانا (به عنوان مثال، ZnO یا TiO_2) یا مکسن‌ها جفت می‌شوند، مکسن‌ها به عنوان منبع غنی الکترون عمل می‌نمایند و انتقال الکترون‌های تولید شده توسط نور را از نوار رسانایی نیمه‌هادی تسهیل می‌کنند. این امر نوترکیبی الکtron-حفره را کاهش و طول عمر گونه‌های فعال را افزایش می‌دهد. جذب نور گستردگی نیمه‌هادی‌های خالص اغلب فقط نور UV است.

در طرح S، ماده نیمه رسانای اول توانایی بیشتری برای "کشیدن" الکترون‌ها دارد، در حالی که ماده نیمه رسانای دوم توانایی قوی‌تری برای "فسار دادن" آنها دارد. به دلیل این تفاوت، الکترون‌های ماده نیمه رسانای اول به سمت ماده نیمه رسانای دوم جریان می‌یابند. در همین حال، حفره‌ها از هم جدا می‌مانند. این جریان الکtron می‌سیر «گام مانند» ایجاد می‌کند. الکترون‌های موجود در ماده نیمه رسانای اول در اکسید کردن بسیار قوی می‌شوند و حفره‌های ماده نیمه رسانای اول از زمانی باشد که مواد به تنها بی کار کنند. نکته کلیدی این است که این دو ماده با هم کار می‌کنند. الکترون‌ها و حفره‌های ضعیف (آنها) که کار زیادی انجام نمی‌دهند یکدیگر را خنثی می‌کنند و تنها الکترون‌های قوی باقی می‌مانند. نیمه رسانای اول و نیمه رسانای دوم نقاط قوت خود را به اشتراک می‌گذارند و سیستم قدرتمندی را ایجاد می‌کنند که از نور برای هدایت موثرات واکنش‌ها استفاده می‌کند.

در واقع در فتوکاتالیست ناهمگن طرح S، حفظ موثر الکترون‌های پرانرژی در CB فتوکاتالیست (SC II)، سبب احیا (RP) و به همین ترتیب، نگه داشتن حفره‌های با ارزش فتو مولد در VB فتوکاتالیست (SC I)، سبب اکسایش (OP) می‌شود به طور همزمان، حامل‌های Bar

² Heterogeneous structures

¹ Composite

کردن که در عرض ۴۰ دقیقه ۹۹ درصد متیل اورانٹ را در معرض نور مرئی تخریب می‌کند (۱۱۲).

کامپوزیت CeO₂/Mxene-TiO₂ آلینده دارویی تتراسایکلین را هنگامی که یک ساعت در معرض نور مرئی قرار گرفت تا ۹۸ درصد تخریب کرد این در حالی است که غلظت آلینده حدود ۳۹ میلی گرم بر لیتر بود و مقدار ۰/۷ گرم بر لیتر کاتالیست استفاده شد (۱۱۳).

در سیستم‌های نانوذرات مکسن/فلز، ترکیب فلزات پلاسمونیک مانند Ag یا Au روی مکسن‌ها، اثرات LSPR را تقویت می‌کند، میدان‌های الکتروکمکانیکی محلی و تزریق الکترون داغ را بهبود می‌بخشد. به عنوان مثال، کامپوزیت‌های AgNP/TiO₂/Ti₃C₂T₃ تخریب سریع ۹۹ درصد متیلن بلو در ۳۰ دقیقه و تخریب سریع ۹۶ درصد رودامین ب در ۴۰ دقیقه را در زیر نور مرئی نشان داده‌اند که قدرت هم‌افزایی پلاسمونیک-مکسن را نشان می‌دهد (۱۱۴).

فرایند تخریب معمولاً این مراحل را دنبال می‌کند:

۱. جذب رنگ‌را بر روی سطح کامپوزیت، که توسط پایانه‌های آب دوست مکسن تسهیل می‌شود.

۲. جذب نور و تولید حامل بار در نیمه‌هادی.

۳. انتقال الکترون به مکسن، ایجاد حفره در باند ظرفیت.

۴. تشکیل گونه‌های فعال به عنوان مثال، OH⁻ از اکسایش H₂O توسط حفره، O₂⁻ از کاهش O₂ توسط الکترون

۵. تجزیه مولکول‌های رنگ‌را به CO₂, H₂O و یون‌هایمعدنی. در ادامه توضیحاتی در مورد سازوکار تخریب آلینده رنگ‌را و دارویی توسط کامپوزیت‌های مکسن ارائه شده است.

همان طور که در شکل ۸ نشان داده شده است، در اثر تحت تابش نور مرئی، هم در g-C₃N₄ و هم در TiO₂ حفره و الکترون ایجاد می‌شود و الکترون‌های باند هدایت از g-C₃N₄ به باند هدایت TiO₂ منتقل می‌شوند تا O₂ را به رادیکال‌های سوپراکسید تبدیل کنند. حفره‌های ایجاد شده در باند ظرفیت از TiO₂ به باند ظرفیت از g-C₃N₄ منتقل می‌شوند و به راحتی با مولکولهای آب و اکتشاف می‌دهند تا رادیکال‌های هیدروکسیل را تشکیل دهند. حفره‌های باند ظرفیت از g-C₃N₄ و گونه OH می‌توانند به طور مستقیم آلینده‌های آلی را به یک واسطه کوچک یا مستقیماً به محصولات نهایی آب و دی اکسید کریں، اکسید کنند. سپس Ti₃C₂ می‌تواند به عنوان پل انتقال بار عمل کند تا بخشی از الکترون‌ها را از باند هدایت g-C₃N₄ و حفره‌هایی از باند ظرفیت TiO₂ بپذیرد تا بازترکیب بار و حفره‌هایی تولید شده را بیشتر مهار کند (۱۱۶).

جفت الکترون-حفره را می‌توان به طور موثر در سطح مشترک g-C₃N₄ و TiO₂ جدا کرد و عملکرد فوتوكاتالیزی را بهبود بخشد (۱۲۰).

یا محدوده مرئی باریکی را جذب می‌کنند. مکسن‌ها با تشدید پلاسمون سطحی موضعی، می‌توانند جذب نور را در طیف مرئی یا نزدیک به مادون قرمز در هنگام ترکیب گسترش دهند و استفاده از انرژی خور شیدی را بهبود بخشد. مکان‌های فعال فراوان، پایانه‌های سطحی مکسن‌ها، مکان‌های واکنشی را برای جذب رنگ‌زا و تولید گونه‌های فعال فراهم می‌کنند. کامپوزیت‌ها این را با ترکیب شیمی سطح مکسن‌ها با مکان‌های کاتالیزی مواد مشترک تقویت می‌کنند و جذب مولکول رنگ‌زا و راند مان تخریب را بهبود می‌بخشد. گونه‌های فعال در فرایند فوتوكاتالیزی، الکترون‌ها و حفره‌های تولید شده نوری در کامپوزیت‌ها، قادرند با آب یا اکسیژن واکنش می‌دهند تا گونه‌های فعال مانند رادیکال‌های هیدروکسیل(OH) و رادیکال‌های سوپراکسید (·O₂) تولید کنند. مکسن‌ها همچنین این فرایند را با جلوگیری از نوترکیب الکترون-حفره و ایجاد مسیرهایی برای واکنش‌های اکسایش-کاهش نانو کامپوزیت‌های دو بعدی/دو بعدی CoAl-LDHs/Ti₃C₂T_x تأثیر مطلوبی بر تجزیه هیدروتتراسایکلین کلرید دارند. علاوه بر این، فعالیت فوتوكاتالیزی به دلیل تعامل هم افزایی بین CoAl-LDHs (نانو صفحه) و Ti₃C₂T_x (مکسن) و اتصال شاتکی ایجاد شده در سطح تماس آنها بر جسته شده است (۱۹).

نمونه‌هایی از کامپوزیت‌های مکسن در تجزیه رنگ‌ها، عملکرد قابل توجهی را در تجزیه رنگ‌هایی مانند متیلن بلو (MB)، رودامین (RB)، و متیل اورانٹ (MO) وغیره نشان داده‌اند. کامپوزیت از Ti₃C₂/TiO₂ از طریق روش هیدروترمال سنتز می‌شوند، این کامپوزیت‌ها یک اتصال شاتکی را در رابط مکسن-TiO₂ تشکیل می‌دهند. مکسن به عنوان یک مخزن الکترون عمل می‌کند، در حالی که، جفت الکترون-حفره را تحت نور UV ایجاد می‌کند. مطالعات بازده تخریب بیش از ۹۶ درصد را برای متیلن بلو (MB) گزارش می‌کنند که به افزایش جداسازی بار و افزایش تولید OH⁻ نسبت داده می‌شود (۱۰۹). ساختارهای ناهمگن Ti₃C₂/g-C₃N₄-AgNP یک فوتوكاتالیست فعال در نور مرئی ایجاد می‌کند که نیترید کربن با مکسن‌ها جفت می‌شود تا پیوندهای ناهمگن دو بعدی/دو بعدی را تشکیل دهند. تماس بین لایه‌ها باعث انتقال الکترون از g-C₃N₄ به مکسن می‌شود و در عرض ۴۸۰ دقیقه بیش از ۸۱ درصد تخریب در معرض نور مرئی حاصل می‌شود (۱۱۰).

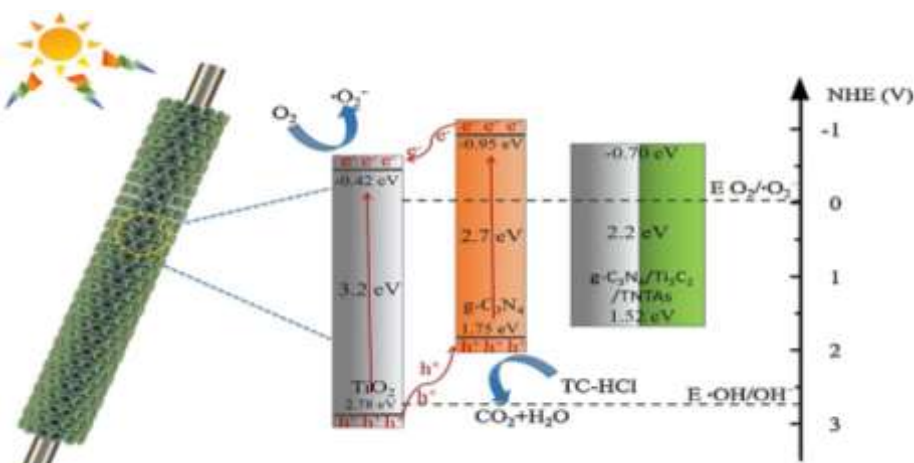
دیو³ و همکارانش یک آرایه نانولوله‌ای فوتوكاتالیست سه گانه TiO₂/Ti₃C₂/g-C₃N₄ با روش نهشت بخار شیمیایی و رشد درجا آمده کرده‌اند، که در عرض ۹۰ دقیقه بیش از ۹۶ درصد تخریب رودامین ب و ۸۵ درصد کلرید تتراسایکلین را در معرض نور مرئی نشان می‌دهد (۱۱۵). کوانگ⁴ و همکارانش یک TiO₂/Ti₃C₂/g-C₃N₄ با روش هیدروترمال تهیه

¹ Shao

²Schottky-junction

³ Diao

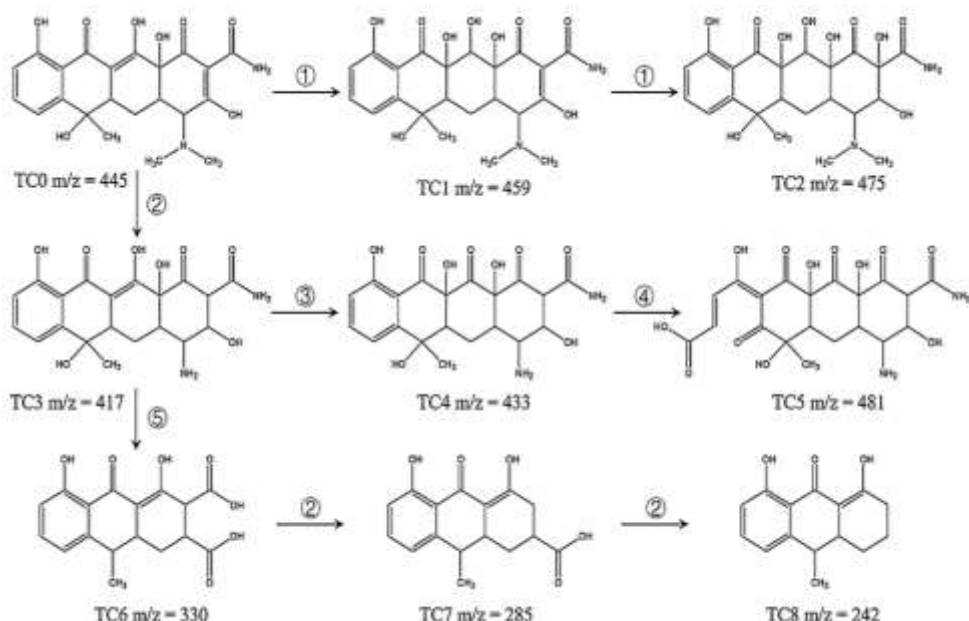
⁴ Quang

شکل ۸: سازوکار حذف آلینده توسط کامپوزیت $\text{g-C}_3\text{N}_4\text{-Ti}_3\text{C}_2\text{-TNTAs}$.Figure 8: Mechanism of pollutant degradation by $\text{g-C}_3\text{N}_4\text{-Ti}_3\text{C}_2\text{-TNT}$ composite (115)

هدایت TiO_2 به Ti_3C_2 MXene مهاجرت می‌کند. در نتیجه، Ti_3C_2 MXene بار منفی انباسته کرد و TiO_2 بار مثبت داشت، که منجر به تشکیل سد شاتکی در رابط $\text{Ti}_3\text{C}_2\text{TiO}_2$ به عنوان لایه بار فضا می‌شود. به ویژه، اتصال شاتکی^۱ می‌تواند به عنوان گیرنده الکترون عمل کند تا الکترون‌های تولید شده را به طور موثر جذب کند و از بازگشت الکترون‌ها به TiO_2 جلوگیری کند، که افزایش بازده فتوکاتالیزی را تا حد زیادی تسهیل می‌کند.

مسیر تخریب پیشنهادی تراسایکلین و ساختار شیمیایی مواد واسطه در شکل ۹ ارائه شده است.

سازوکار فتوکاتالیزی پیشنهادی برای تخریب متیل اورانز در شکل ۱۰ نشان داده شده است. در ابتدا، منبع نوری که فوتون‌های پرانرژی را حمل می‌کند، فعال می‌شود تا الکترون‌های القایی نوری تولید کند و حفره‌هایی روی نوار ظرفیت TiO_2 باقی بگذارد. در مرحله بعدی، فتووالکترون‌ها بهدلیل رسانایی الکتریکی بالای آن به سرعت از باند

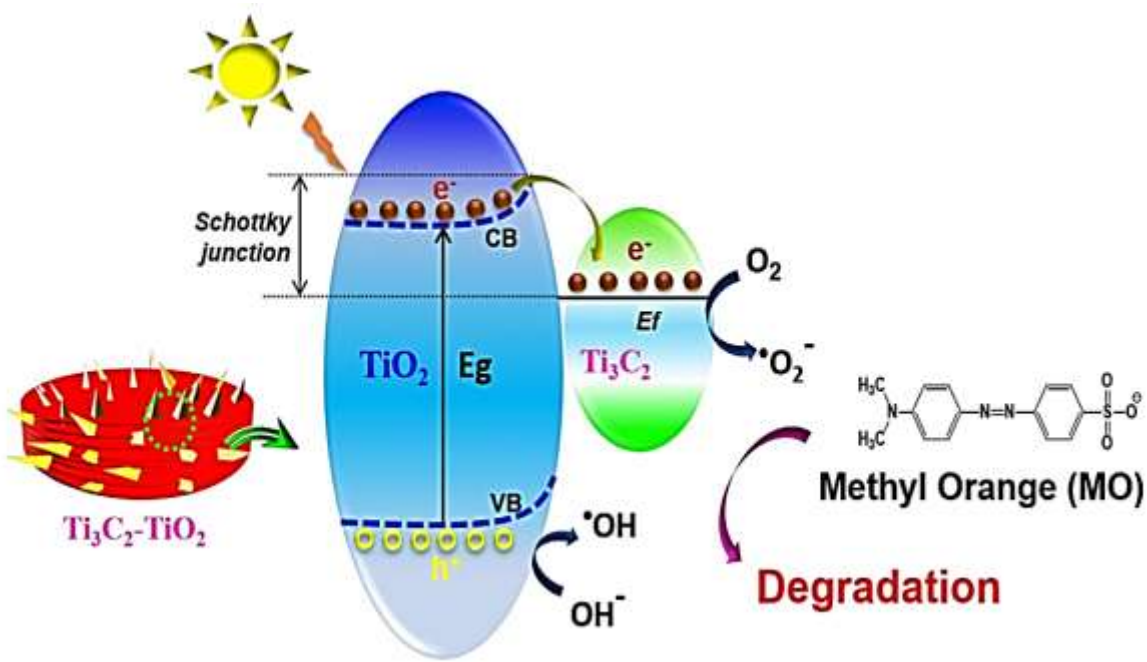


① hydroxylation, ② loss of dimethyl amino, ③ oxidation of double bonds, ④ oxidation of aromatic ring,

شکل ۹: مسیر پیشنهادی تخریب تراسایکلین و ساختار شیمیایی مواد واسطه آن (۱۱۵).

Figure 9: Proposed degradation pathway of tetracycline and chemical structure of its intermediates (115).

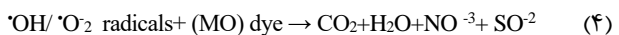
² Schottky-junction¹ Schottky barrier

شکل ۱۰: سازوکار حذف آلاینده توسط کامپوزیت $\text{Ti}_3\text{C}_2\text{-TiO}_2$ (۱۱۲).Figure 10: Mechanism of pollutant degradation by $\text{Ti}_3\text{C}_2\text{-TiO}_2$ composite (112).

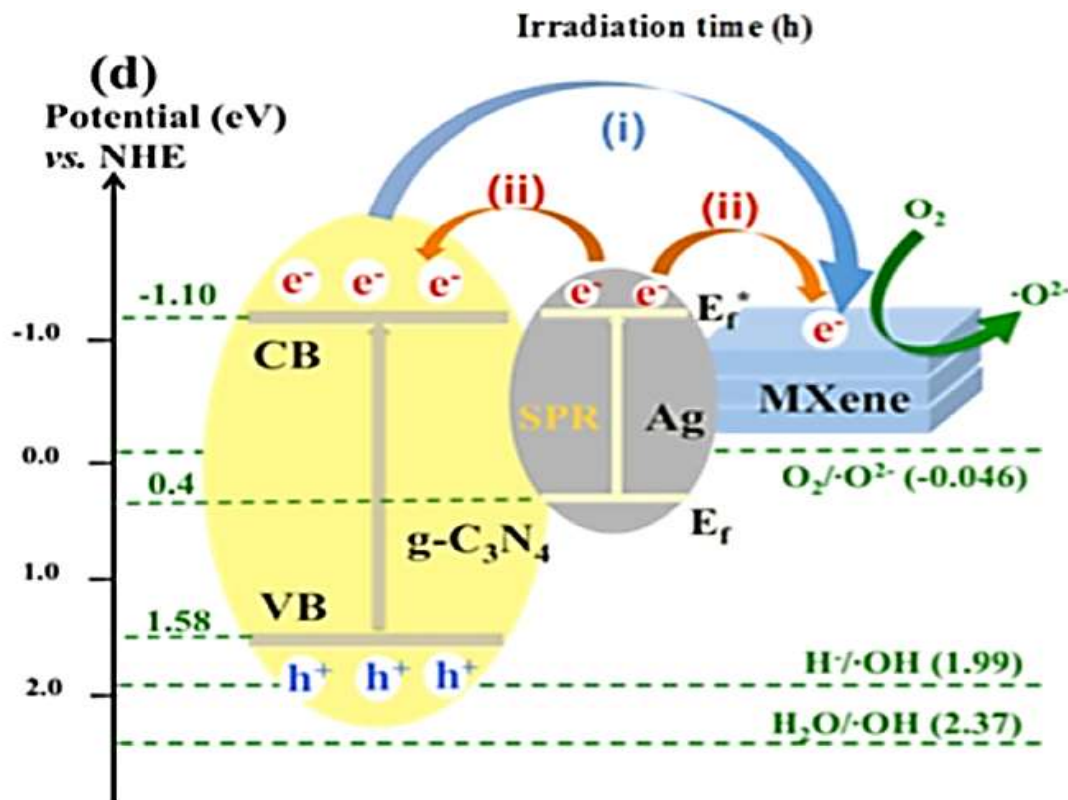
سازوکار تخریب نوری معمولی مولکول‌های آلی شامل واکنش‌های اکسایش-کاهش با تشکیل رادیکال‌های آزاد می‌باشد. اکسایش گروه‌های هیدروکسیل و مولکول‌های آب توسط حفره‌های تولید شده نوری، برای تشکیل رادیکال‌های OH^\cdot یکی از سازوکارهای اصلی است. الکترون‌های القا شده با نور می‌توانند از طریق مانع شاتکی شکل‌گرفته در رابطه $\text{Ti}_3\text{C}_2\text{Tx}$ MXene با ورقه‌های $\text{TiO}_2/\text{Ti}_3\text{C}_2\text{Tx}$ مهاجرت کنند و حفره‌ها را روی باند ظرفیت TiO_2 باقی بگذارند. این فرایند جداسازی بار را با کاهش شانس نوترکیبی و افزایش طول عمر الکترون‌های فوتوتولید شده ارتقا می‌دهد. در جزئیات بیشتر، الکترون‌های فوتومولد به سرعت از TiO_2 به سطح مکسن مهاجرت می‌کنند، که به عنوان یک مخزن الکترون عمل می‌کند. مراکز واکنشی غنی از الکترون در سطح Ti_3C_2 مسئول تشکیل رادیکال O_2^\cdot هستند.

از طرف دیگر، حفره‌های فوتومولد می‌توانند گروه‌های هیدروکسیل سطحی روی ذرات TiO_2 ، مولکول‌های آب اطراف و به طور بالقوه گروه‌های OH^\cdot را روی سطح مکسن اکسید کنند. نانوذرات فلزی انتقالی توسط چندین محقق ثابت شده است. وجود نانوذرات فلزی روی سطح اکسیدشده مکسن / Ti_2C می‌تواند مراکز واکنش پذیری بیشتری را فراهم کند، به‌ویژه در نتیجه مهاجرت به سمت رنگزهای می‌تواند منجر به تغییر شود. رسوب نانوذرات فلزی می‌تواند به طور قابل توجهی فعالیت فوتوكاتالیزی TiO_2 را افزایش دهد (۱۱۴-۱۱۷). در جدول ۲ اطلاعات جامعی در مورد ساختار کامپوزیت‌های مکسن، شرایط واکنش و حذف آلاینده ارایه شده است.

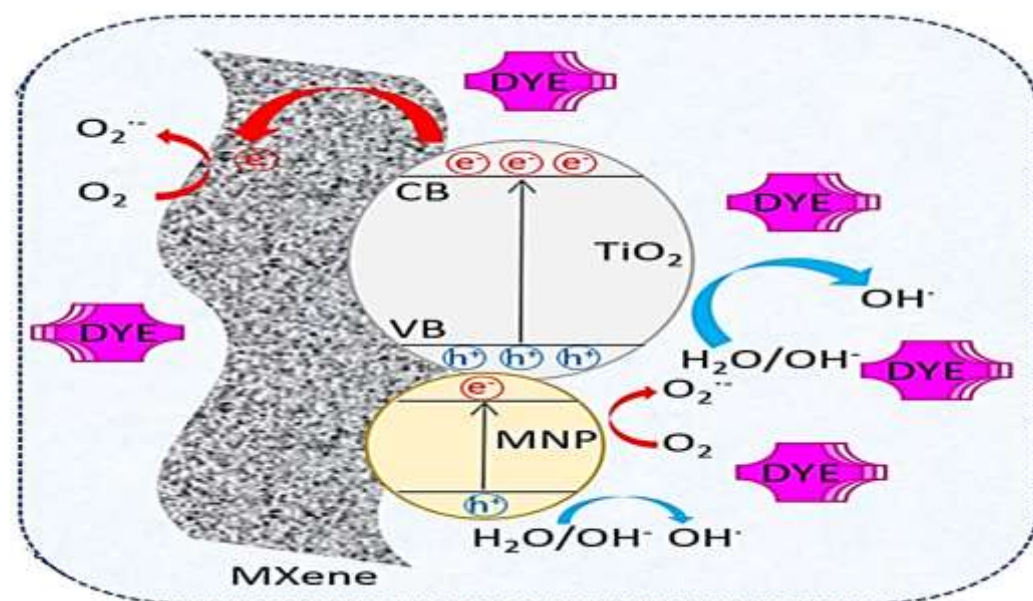
پس از قرار گرفتن بر روی Ti_3C_2 MXenes، الکترون‌های تولید شده نوری به سطح مهاجرت می‌کنند و با مولکول‌های اکسیژن واکنش می‌دهند تا رادیکال‌های سوپراکسید، دی اکسید کربن تولید کنند. در آن زمان، حفره‌های تولید شده نوری با مولکول‌های یون هیدروکسیل جذب شده واکنش می‌دهند تا رادیکال‌های هیدروکسیل را ایجاد کنند. در نهایت، رادیکال‌ها، با قابلیت اکسایش قوی، مولکول‌های متیل اورانز را مستقیماً به محصولات اکسیداسیون تجزیه می‌کنند. سازوکار را می‌توان بر اساس واکنش‌های (۱)-۴ توصیف کرد (۱۱۲).



همان‌طور که در شکل ۱۲ نشان داده شده است، هنگامی که متالوئید $\text{g-C}_3\text{N}_4$ با نوع n $\text{g-C}_3\text{N}_4$ در تماس است، الکترون‌ها از $\text{g-C}_3\text{N}_4$ توسط سد شاتکی مهاجرت می‌کنند. هنگامی که Ti_3C_2 MXene تحت نور مرئی روشن می‌شود، الکترون‌های آزاد در Ag CN/M-Ag دلیل رزونانس پلاسمون سطحی به حالت‌های انرژی بالاتر برانگیخته می‌شوند و سپس آن الکترون‌ها از AgNPs به CB $\text{g-C}_3\text{N}_4$ و CB Ti_3C_2 منتقل می‌شوند. الکترون‌های القا شده با نور با اکسیژن واکنش می‌دهند و متعاقباً رادیکال‌های هیدروکسیل تشکیل می‌شوند (۱۱۰).



شکل ۱۱: سازو کار حذف آلاینده توسط کامپوزیت C₃N₄/Mxene/AgNPs.
Figure 11: Mechanism of pollutant degradation by Ti₃C₂-TiO₂ composite (110).



شکل ۱۲: سازو کار حذف آلاینده توسط کامپوزیت AgNP/TiO₂/Ti₃C₂T₃ (114).
Figure 12: Schematic of pollutant removal by AgNP/TiO₂/Ti₃C₂T₃ composite (114).

جدول ۲: کامپوزیت‌های مکسن، شرایط واکنش فتوکاتالیزی و حذف آلانیندہ آلی.

Table 2. MXenes composites, photocatalytic reaction conditions, and organic pollutant removal.

Photocatalyst	Substrate of degradation	Morphology	Reaction conditions	Light source	Yield	Ref.
MoS ₂ @Ti ₃ C ₂ Nanohybrid	Liquid paraffin (LP)	MoS ₂ nanosheets/Ti ₃ C ₂ sheets Multilayer	A certain amount of sample + 2.0 g of deionized water and 1.0 g of LP + 10 mL dichloromethane as the sacrifice reagent, 30 min dark adsorption	1000 W highpressure mercury lamp	> 90 %	(118)
α -Fe ₂ O ₃ /ZnFe ₂ O ₄ @Ti ₃ C ₂	Rhodamine B (RhB)	a-Fe ₂ O ₃ /ZnFe ₂ O ₄ nanoparticles/Ti ₃ C ₂ nanosheets Multilayer	20 mg catalyst + 100 mL 10 mg/L substrate, 30 min dark adsorption	300 W Xe lamp	>98%	(119)
	Cr(VI)				90%	
Ag ₃ PO ₄ /Ti ₃ C ₂	Tetracycline (TC)	2D Ti ₃ C ₂ /Ag ₃ PO ₄ particles Monolayer	20 mg catalyst + 50 mL 20 mg/L substrate, 30 min dark adsorption	300 W Xe lamp (\geq 420 nm)	80%	(120)
0D/2D Bi ₃ TaO ₇ /Ti ₃ C ₂	Methylene blue	Bi ₃ TaO ₇ nanoparticles/Ti ₃ C ₂ Nanosheets Multilayer	50 mg catalyst + 100 mL 10 mg/L, 60 min dark adsorption 20 mg catalyst + 50 mL 10 mg/L	300 W Xe lamp (\geq 420 nm)	99%	(121)
Ti ₃ C ₂ /SrTiO ₃ composites	2,4-Dinitrophenol (2,4-DNP) Tetracycline hydrochloride (TC-H) Thiamphenicol (TPL) Chloramphenicol (CPL) UO ₂	2D Ti ₃ C ₂ /SrTiO ₃ particles Multilayer	20 mg catalyst + 60 mL 50 ppm substrate, 8 h dark adsorption	300 W Xe lamp ($l = 320\text{--}2500\text{ nm}$)	77%	(122)
(111) TiO _{2-x} /Ti ₃ C ₂	Methylene blue (MB)	TiO ₂ nanoparticles/Ti ₃ C ₂ Nanosheets, Multilayer	10 mg catalyst+200mL 20 mg/L	500 W Xe lamp (14 400 nm)	75%	(123)
(001) TiO ₂ /Ti ₃ C ₂	Methyl orange (MO)	TiO ₂ square nanosheets/Ti ₃ C ₂ nanosheets, Multilayer	10 mg catalyst + 200 mL 20 mg/L substrate, 60 min dark adsorption	300 W Xe lamp	>98%	(124)
CdS@Ti ₃ C ₂ @TiO ₂	Sulfachloropyridazine(SCP)	CdS nanoparticles/Ti ₃ C ₂ @TiO ₂ bulk	50 mg catalyst + 200 mL 20 mg/L	Light intensity 300 mW cm ₋₂ ($l = 400\text{--}1050\text{ nm}$)	95%	(125)
	Methylene Blue				80%	
2D/2D Ti ₃ C ₂ /Porous g-C ₃ N ₄	Phenol	2D/2D Ti ₃ C ₂ /PCN nanocomposite Multilayer with ultrasonication	20 mg catalyst + 50 mL 10 mg/L	500 W Xe lamp (14 400 nm)	98%	(126)
Ti ₃ C ₂ -OH/Bi ₂ WO ₆ composites	Rhodamine B	Porous spherical structure	10 mg catalyst + 50 mL 2, 10, 5 Mol/L substrate, 30 min dark adsorption	300 W Xe lamp ($l = 400\text{--}2500\text{ nm}$)	77%	(127)
MT/ZnCoS	Tetracycline (TC)	-	optimal dosages of (0.3 g/L) and PAA (2 mM) within 15 min	-	> 80 %	(128)

تبديل می‌کند. روش سنتز آنها، چه از طریق اج‌کردن انتخابی فازهای MAX و چه سایر روش‌های جایگزین از پایین به بالا و از بالا به پایین موجبات توانایی آنها را، برای جداسازی حامل بار کارآمد، افزایش جذب نور و برهم‌کش قوی با مولکول‌های رنگرا و دیگر آلاینده‌ها را فراهم می‌کند که از پیش‌نیازهای مؤثر فرایند فتوکاتالیز است. مکسن هنگامی که مواد دیگر را در کامپوزیت‌های مبتنی بر مکسن همراهی می‌کند، اثرات هم‌افزایی مطلوبی از خود نشان می‌دهد که به طور قابل توجهی عملکرد فتوکاتالیزی را افزایش می‌دهد. این کامپوزیت‌ها از نقش مکسن‌ها به عنوان کاتالیست‌های کمکی یا غنی از الکترون، با کاهش تلفات نوترکیب و افزایش تولید گونه‌های فعال که برای تخریب رنگرا و دیگر آلاینده‌ها حیاتی است استفاده می‌کنند. مطالعات نشان می‌دهد که کامپوزیت‌های مکسن کارایی تجزیه قابل توجهی برای طیف وسیعی از رنگ‌های آلی نشان می‌دهد که اغلب از فتوکاتالیست‌های مستقل تحت تابش نور ماوراء‌بخش و نور مرنی پیشی می‌گیرند. در اکثر این موارد کامپوزیت‌ها با استفاده از گونه‌های فعال حاصل از تهییج نوری (رادیکال‌های هیدروکسیل، سوپراکسید و حفره‌ها) تخریب فتوکاتالیزی را با استفاده از طرح‌های متنوع فتوکاتالیست (طرح Z و S) پیش می‌برند. با وجود گام‌های امیدوارکننده اخیر، چالش‌ها در بهینه‌سازی فتوکاتالیست‌های مبتنی بر مکسن همچنان ادامه دارد. پایداری فتوکاتالیست‌ها در شرایط اکسایش طولانی مدت، مقیاس‌پذیری روش‌های سنتز آنها و درک عمیق‌تر رابطه بین ساختار فتوکاتالیست‌ها و کاربرد آنها، مستلزم بررسی بیشتر است. پتانسیل مکسن‌ها در فرایند فتوکاتالیز همچنان گسترش دارد و مسلمان در آینده نزدیک، راه حل‌های نوآورانه‌ای را برای رفع چالش‌های محیط‌زیست و اصلاح فناوری‌های تصفیه آب و پساب رنگی پایدار ارائه می‌دهد.

۶- سینتیک واکنش فتوکاتالیزی

مواد دو بعدی مکسن، ترکیبی منحصر به فرد از خواص را ارائه می‌دهند که آنها را به فتوکاتالیست‌های امیدوارکننده یا کاتالیست‌های کمکی در کامپوزیت تبدیل می‌کند. درک سینتیک واکنش‌های فتوکاتالیزی آنها برای بهینه‌سازی عملکرد آنها و طراحی سیستم‌های کارآمدتر برای کاربردهای مختلف امری مهم است. در واقع سینتیک فتوکاتالیزی، سرعت انجام یک واکنش فتوکاتالیزی را توصیف می‌کند. این نشان می‌دهد که واکنش‌دهنده‌ها با چه سرعتی تحت شرایط خاص شدت نور، بارگذاری کاتالیست، دما و غلظت اولیه واکنش‌دهنده به محصولات تبدیل می‌شوند. ثابت سرعت بالاتر نشان دهنده واکنش سریعتر است. در یک تحقیق لانگ^۱ و همکارانش، برای تخریب متیلن بلو با غلظت ۵۰ میلی‌گرم بر لیتر توسط کامپوزیت MXene/NH₂-MIL-88B Ti₃C₂ به سینتیک مرتبه اول با ثابت سرعت $k = 0.00881$ (۱۱۷). مواد مختلفی برای حذف آلاینده‌ها استفاده شده است که سینتیک حذف آلاینده‌ها در برخی از آنها نیز مطالعه شده است (۱۲۹-۱۴۱).

۷- نتیجه‌گیری

ظهور مکسن‌ها و کامپوزیت‌های آن به عنوان فتوکاتالیست برای تخریب رنگ‌ها و دیگر آلاینده‌های آلی از آب، پتانسیل تحول پذیر آنها را در حل به چالش‌های زیستمحیطی، بهویژه در زمینه تصفیه آب و پساب نشان می‌دهد. ساختار دو بعدی (2D) منحصر به فرد مکسن‌ها، با مساحت سطح بالا، پایانه‌های سطح قابل تنظیم و رسانایی الکتریکی استثنایی، آنها را به انتخاب شایسته برای کاربردهای فتوکاتالیزی

۸- مراجع

1. Singh BJ, Chakraborty A, Sehgal R. A systematic review of industrial wastewater management: Evaluating challenges and enablers. *J Environ Manage.* 2023;348:119230. <https://doi.org/10.1016/j.jenvman.2023.119230>.
2. Bagheri A, Hoseinzadeh H, Hayati B, Mahmoodi NM, Mehraeen E, Post-synthetic functionalization of the metal-organic framework: Clean synthesis, pollutant removal, and antibacterial activity. *J Environ Chem Eng* 2021;9:104590. <https://doi.org/10.1016/j.jece.2020.104590>.
3. Lin L, Yang H, Xu X. Effects of water pollution on human health and disease heterogeneity: a review. *Front Environ Sci.* 2022;10:880246. <https://doi.org/10.3389/fenvs.2022.880246>.
4. Mishra RK, Fresh Water availability and Its Global challenge. *Br J Multidiscip Adv Stud.* 2023;4:1–78. <https://doi.org/10.37745/bjmas.2022.0208>.
5. Salehi M. Global water shortage and potable water safety; Today's concern and tomorrow's crisis. *Environ Int.* 2022;158:106936. <https://doi.org/10.1016/j.envint.2021.106936>.
6. Holkar CR, Jadhav AJ, Pinjari D V., Mahamuni NM, Pandit AB. A critical review on textile wastewater treatments: Possible approaches. *J Environ Manage.* 2016;182:351–66. <http://dx.doi.org/10.1016/j.jenvman.2016.07.090>
7. Mani S, Chowdhary P, Bharagava RN. Textile wastewater dyes: toxicity profile and treatment approaches. In: Bharagava, R., Chowdhary, P. (eds) Emerging and eco-friendly approaches for waste management. Springer, Singapore. 2019. https://doi.org/10.1007/978-981-10-8669-4_11.

¹ Long

8. Mojiri A, Bashir MJK. Wastewater treatment: current and future techniques. *Water (Switzerland)*. 2022;14:448. <https://doi.org/10.3390/w14030448>.
9. Wang H, Li X, Zhao X, Li C, Song X, Zhang P, et al. A review on heterogeneous photocatalysis for environmental remediation: From semiconductors to modification strategies. *Chinese J Catal.* 2022;43:178–214. [http://dx.doi.org/10.1016/S1872-2067\(21\)63910-4](http://dx.doi.org/10.1016/S1872-2067(21)63910-4).
10. Nakata K, Fujishima A. TiO₂ photocatalysis: Design and applications. *J Photochem Photobiol C Photochem Rev.* 2012;13(3):169–89. <https://doi.org/10.1016/j.jphotochemrev.v.2012.06.001>.
11. Balapure A, Ray Dutta J, Ganesan R. Recent advances in semiconductor heterojunctions: a detailed review of the fundamentals of photocatalysis, charge transfer mechanism and materials. *RSC Appl Interfaces.* 2024;1:43–69. <https://doi.org/10.1039/D3LF00126A>.
12. Banerjee S, Pillai SC, Falaras P, O'shea KE, Byrne JA, Dionysiou DD. New insights into the mechanism of visible light photocatalysis. *J Phys Chem Lett.* 2014;5:2543–54. <https://doi.org/10.1021/jz501030x>.
13. Sun Y, Meng X, Dall'Agnese Y, Dall'Agnese C, Duan S, Gao Y, et al. 2D mxenes as co-catalysts in photocatalysis: synthetic methods. *Nano-Micro Lett.* 2019;11:79. <https://doi.org/10.1007/s40820-019-0309-6>.
14. Mishra S, Sundaram B. A review of the photocatalysis process used for wastewater treatment. *Mater Today Proc.* 2024;102:393–409. <https://doi.org/10.1016/j.matpr.2023.07.147>.
15. Naguib M, Kurtoglu M, Presser V, Lu J, Niu J, Heon M, et al. Two-dimensional nanocrystals produced by exfoliation of Ti₃AlC₂. *Adv Mater.* 2011;23:4248–53. <https://doi.org/10.1002/adma.201102306>.
16. Anasori B, Lukatskaya MR, Gogotsi Y. 2D metal carbides and nitrides (MXenes) for energy storage. *Nat Rev Mater.* 2017;2:16098. <https://doi.org/10.1038/natrevmats.2016.98>
17. Dadashi Firouzjaei M, Karimiziarani M, Moradkhani H, Elliott M, Anasori B. MXenes: the two-dimensional influencers. *Mater Today Adv.* 2022;13:100202. <https://doi.org/10.1016/j.mtadv.2021.100202>.
18. Schultz T, Frey NC, Hantanasirisakul K, Park S, May SJ, Shenoy VB, et al. Surface termination dependent work function and electronic properties of Ti₃C₂T_x mxene. *Chem Mater.* 2019;31:6590–7. <https://doi.org/10.1021/acs.chemmater.9b00414>.
19. Yu H, Jiang H, Zhang S, Feng X, Yin S, Zhao W. Review of Two-Dimensional MXenes (Ti₃C₂T_x) Materials in Photocatalytic Applications. Processes. 2023;11:1413. <https://doi.org/10.3390/pr11051413>.
20. Ghidiu M, Naguib M, Shi C, Mashtalir O, Pan LM, Zhang B, Yang J, Gogotsi Y, Billinge SJL, Barsoum MW, Synthesis and characterization of two-dimensional Nb₄C₃ (MXene). *Chem Commun.* 2014;50:9517–9520. <https://doi.org/10.1039/C4CC03366C>.
21. Kewate OJ, Hussain I, Tyagi N, Saxena S, Zhang K, Rajamansingh EG, Chinnappan N, Joshi H, Punniyakoti S, Nb-based mMXenes: structures, properties, synthesis, and application towards supercapacitors. *J. Energy Storage* 2024; 94:112445. <https://doi.org/10.1016/j.est.2023.109299>.
22. Jakubczak M, Bury D, Abiyyu M, Purbayanto K, Wójcik A, Moszczyńska D, et al. Understanding the mechanism of Nb - MXene bioremediation with green microalgae. *Sci Rep.* 2022;1–17. <https://doi.org/10.1038/s41598-022-18154-3>
23. Rasheed PA, Pandey RP, Banat F, Hasan SW. Review recent advances in niobium MXenes: synthesis, properties, and emerging applications. *Matter* 2022;5: 546–572. <https://doi.org/10.1016/j.matt.2021.12.021>
24. Ahmed T, Piya AA, Daula Shamim SU. Recent advances in Zr and Hf-based MXenes and their hetero-structure as novel anode materials for Ca-ion batteries: theoretical insights from DFT approach. *Nanoscale Adv.* 2024;6:3441–9. <https://doi.org/10.1039/D4NA00140K>
25. Elsa G, Hanan A, Walvekar R, Numan A, Zirconium-based MXenes: Synthesis, properties, applications, and prospects. *Coord Chem Rev.* 2025;526:216355. <https://doi.org/10.1016/j.ccr.2024.216355>
26. Papadopoulou KA, Chroneos A, Christopoulos SRG. Ion incorporation on the Zr₂CS₂ MXene monolayer towards better-performing rechargeable ion batteries. *J Alloys Compd.* 2022;922:166240. <https://doi.org/10.1016/j.jallcom.2022.166240>.
27. Syamsai R, Grace AN. Synthesis, properties and performance evaluation of vanadium carbide MXene as supercapacitor electrodes. *Ceram Int.* 2020;46:5323–30. <https://doi.org/10.1016/j.ceramint.2019.10.283>
28. Vahidmohammadi A, Hadjikhani A, Shahbazmohamadi S, Beidaghi M. Two-Dimensional Vanadium Carbide (MXene) as a High-Capacity Cathode Material for Rechargeable Aluminum Batteries. *ACS Nano.* 2017;11:11135–44. <https://doi.org/10.1021/acsnano.7b05350>.
29. Sukanya R, Hasan M, Karthik R, Ranjith Kumar D, Kamaraj E, Milton A, et al. In situ decoration of 0D-nickel boride on 2D-vanadium MXene composites: An advanced electrode material for high energy density supercapacitors. *Chem Eng J.* 2024;497(April): 154928. <https://doi.org/10.1016/j.cej.2024.154928>.
30. Satishkumar P, Islor AM, Rao LN, Farnood R. Fabrication of 2D Vanadium MXene Polyphenylsulfone Ultrafiltration membrane for enhancing the water flux and for effective separation of humic acid and dyes from wastewater. *ACS Omega.* 2024;9:25766–78. <https://doi.org/10.1021/acso mega.3c10078>
31. Zeng Q, Wang B, Lai X, Li H, Chen Z, Zeng X, et al. A multifunctional flame-retardant TA-MXene based nanocoating for cotton fabric. *Prog Org Coat.* 2024;189:108333. <https://doi.org/10.1016/j.porgcoat.2024.108333>.
32. Dong L, Chu H, Li Y, Ma X, Pan H, Zhao S, et al. Surface functionalization of Ta₄C₃ MXene for broadband ultrafast photonics in the near-infrared region. *Appl Mater Today.* 2022;26:101341. <https://doi.org/10.1016/j.apmt.2021.101341>.
33. Zhao J, Wen J, Bai L, Xiao J, Zheng R, Shan X, et al. One-step synthesis of few-layer niobium carbide MXene as a promising anode material for high-rate lithium ion batteries. *Dalton Trans.* 2019;48:14433–14439. <https://doi.org/10.1039/C9DT03260F>
34. Syamsai R, Rodriguez JR, Pol VG, Le Q Van. Double transition metal MXene as anodes for Li - ion batteries. *Sci Rep.* 2021;11:688. <https://doi.org/10.1038/s41598-020-79991-8>.
35. Li X, Bai Y, Shi X, Su N, Nie G, Zhang R, et al. Applications of MXene (Ti₃C₂T:X) in photocatalysis: A review. *Mater Adv.* 2021;2(5):1570–94. <https://doi.org/10.1039/D0MA00938E>.
36. Akhtar S, Singh J, Tran TT, Roy S, Lee E, Kim J. Synthesis and optical properties of light-emitting V₂N MXene quantum dots. *Opt Mater.* 2023;138:113660. <https://doi.org/10.1016/j.optmat.2023.113660>.
37. Sun P, Liu J, Liu Q, Yu J, Chen R, Zhu J, et al. Stable 3D porous N-MXene/NiCo₂S₄ network with Ni–O atomic bridging for

- printed hybrid micro-supercapacitors. *Chem Eng J.* 2024;493:152731. <https://doi.org/10.1016/j.cej.2024.152731>.
38. Feng X, Bai T, Xiao B. Prediction of surface termination preference of out-of-plane ordered double-transition metal MXenes (o-MXenes) from first-principles calculations. *J Phys Conf Ser.* 2022;2321:012012. <https://doi.org/10.1088/1742-6596/2321/1/012012>.
39. Liu D, Lu Q, Xuan C, Xiao L, Zhao F, Feng X, et al. In situ generation of a $Ti_3C_2T_x$ ($T_x = F, O$ and OH) MXene decorated CuO nanocomposite with extraordinary catalytic activity for TKX-50 thermal decomposition. *Mater Chem Front.* 2023;7:2851–2859. <https://doi.org/10.1039/D2QM01244H>.
40. Verger L, Natu V, Carey M, Barsoum MW. MXenes: An Introduction of Their Synthesis, Select Properties, and Applications. *Trends Chem.* 2019;1:656–69. <https://doi.org/10.1016/j.trechm.2019.04.006>.
41. Verma R, Sharma A, Dutta V, Chauhan A, Pathak D, Ghotekar S. Recent trends in synthesis of 2D MXene - based materials for sustainable environmental applications. *Emergent Mater.* 2024;7:35–62. <https://doi.org/10.1007/s42247-023-00591-z>.
42. Yan A, Tan S, Taimoor H, Awan A, Cheng F, Zhang M, et al. Recent advances in the use of MXenes for photoelectrochemical sensors. *Chem Eng J.* 2024;482:148774. <https://doi.org/10.1016/j.cej.2024.148774>.
43. Zhang CJ, Pinilla S, McEvoy N, Cullen CP, Anasori B, Long E, et al. Oxidation Stability of Colloidal Two-Dimensional Titanium Carbides (MXenes). *Chem Mater.* 2017;29:4848–56. <https://doi.org/10.1021/acs.chemmater.7b00745>.
44. Li N, Peng J, Ong W jun, Ma T, Zhang P, Jiang J. Perspective MXenes : An Emerging Platform for Wearable Electronics and Looking Beyond. *Matter.* 2021;4:377–407. <https://doi.org/10.1016/j.matt.2020.10.024>.
45. Wang Z. A Review on MXene: Synthesis , Properties and Applications on Alkali Metal Ion Batteries. *IOP Conf. Ser. Earth Environ. Sci.* 2021;714:042030. <https://doi.org/10.1088/1755-1315/714/4/042030>.
46. Alhabeb M, Maleski K, Mathis TS, Sarycheva A, Hatter CB, Uzun S, et al. Selective Etching of Silicon from Ti_3SiC_2 (MAX) To Obtain 2D Titanium Carbide (MXene). *Angew Chemie Int Ed.* 2018;57:5444–5448. <https://doi.org/10.1002/anie.201802232>.
47. Alhabeb M, Maleski K, Anasori B, Lelyukh P, Clark L, Sin S, et al. Guidelines for Synthesis and Processing of Two-Dimensional Titanium Carbide ($Ti_3C_2T_x$ MXene). *Chem Mater.* 2017;29(18):7633–44. <https://doi.org/10.1021/acs.chemmater.7b02847>.
48. Cockreham CB, Zhang X, Li H, Hammond-pereira E, Sun J, Saunders SR, et al. Inhibition of $AlF_3 \cdot 3H_2O$ Impurity Formation in Ti_3C_2T . *ACS Appl. Energy Mater.* 2019;2:8145–8152. <https://doi.org/10.1021/acsaem.9b01618>.
49. Ghidui M, Lukatskaya MR, Zhao MQ, Gogotsi Y, Barsoum MW. Conductive two-dimensional titanium carbide “clay” with high volumetric capacitance. *Nature.* 2015;516:78–81. [http://dx.doi.org/10.1038/nature13970](https://doi.org/10.1038/nature13970).
50. Rahman M, Al Mamun MS. Future prospects of MXenes: synthesis, functionalization, properties, and application in field effect transistors. *Nanoscale Adv.* 2023;6:367–85. <https://doi.org/10.1039/D3NA00874F>.
51. Sokol M, Natu V, Kota S, Barsoum MW. On the Chemical Diversity of the MAX Phases. *Trends Chem.* 2019;1:210–223. <https://doi.org/10.1016/j.trechm.2019.02.016>.
52. Liu F, Zhou A, Chen J, Jia J, Zhou W, Wang L, et al. Preparation of Ti_3C_2 and Ti_2C MXenes by fluoride salts etching and methane adsorptive properties. *Appl Surf Sci.* 2017;416:781–9. [http://dx.doi.org/10.1016/j.apsusc.2017.04.239](https://doi.org/10.1016/j.apsusc.2017.04.239).
53. Karlsson LH, Birch J, Halim J, Barsoum MW, Persson POÅ. Atomically Resolved Structural and Chemical Investigation of Single MXene Sheets. *Nano Lett.* 2015;15:4955–60. <https://doi.org/10.1021/acs.nanolett.5b00737>.
54. Urbankowski P, Anasori B, Makaryan T, Er D, Kota S, Walsh PL, et al. Synthesis of two-dimensional titanium nitride Ti_4N_3 (MXene). *Nanoscale.* 2016;8:11385–11391. <https://doi.org/10.1039/C6NR02253G>.
55. Peng C, Wei P, Chen X, Zhang Y, Zhu F, Cao Y, et al. A hydrothermal etching route to synthesis of 2D MXene (Ti_3C_2, Nb_2C): Enhanced exfoliation and improved adsorption performance. *Ceram Int.* 2018;44:18886–93. <https://doi.org/10.1016/j.ceramint.2018.07.124>.
56. Yang S, Zhang P, Wang F, Ricciardulli AG, Lohe MR, Blom PWM, et al. Fluoride-Free Synthesis of Two-Dimensional Titanium Carbide (MXene) Using A Binary Aqueous System. *Angew Chemie.* 2018;130:15717–15721. <https://doi.org/10.1002/ange.201809662>.
57. Sun W, Shah SA, Chen Y, Tan Z, Gao H, Habib T, et al. Electrochemical etching of Ti_2AlC to $Ti_2CT:X$ (MXene) in low-concentration hydrochloric acid solution. *J Mater Chem A.* 2017;5:21663–21668. <https://doi.org/10.1039/C7TA05574A>.
58. Li M, Lu J, Luo K, Li Y, Chang K, Chen K, et al. Element Replacement Approach by Reaction with Lewis Acidic Molten Salts to Synthesize Nanolaminated MAX Phases and MXenes. *J Am Chem Soc.* 2019;141(11):4730–4737. <https://doi.org/10.1021/jacs.9b00574>.
59. Luo J, Matios E. Interfacial structure design of MXene-based nanomaterials for electrochemical energy storage and conversion. *InfoMat* 2020;2:1057–76. <https://doi.org/10.1002/inf2.12118>.
60. Liu L, Orbay M, Luo S, Duluard S, Shao H, Harmel J. Exfoliation and Delamination of $Ti_3C_2T_x$ MXene Prepared via Molten Salt Etching Route. *ACS Nano* 2022;16:111–118. <https://doi.org/10.1021/acs.nano.1c08498>.
61. Yu H, Wang Y, Jing Y, Ma J, Du C feng, Yan Q. Surface modified mxene-based nanocomposites for electrochemical energy conversion and storage. *Small* 2019;15:1901503. <https://doi.org/10.1002/smll.201901503>.
62. Tang Q, Zhou Z, Shen P. Are MXenes promising anode materials for li ion batteries ? Computational studies on electronic properties and Li storage capability of Ti_3C_2 and $Ti_3C_2X_2$ (X = F, OH) Monolayer. *J. Am. Chem. Soc.* 2012;134:16909–16916. <https://doi.org/10.1021/ja308463r>.
63. Lukatskaya MR, Bak S min, Yu X, Yang X qing, Barsoum MW. Probing the mechanism of high capacitance in 2d titanium carbide using in situ x-ray absorption spectroscopy. *Adv. Energy Mater.* 2015;5:1500589. <https://doi.org/10.1002/aenm.201500589>.
64. Zdražil L, Zahradníček R, Mohan R, Sedlacek P, Nejdl L, Schmiedová V, et al. Preparation of graphene quantum dots through liquid phase exfoliation method. *J Lumin.* 2018;204: 203–208. <https://doi.org/10.1016/j.jlumin.2018.08.017>.
65. Xu Y, Wang X, Zhang L, Lv F. Chem Soc Rev Recent progress in two-dimensional inorganic. *Chem Soc Rev.* 2018;47:586–625. [http://dx.doi.org/10.1039/C7CS00500H](https://doi.org/10.1039/C7CS00500H).
66. Yang X, Jia Q, Duan F, Hu B, Wang M, He L, et al. Multiwall carbon nanotubes loaded with MoS₂ quantum dots and MXene quantum dots : Non–Pt bifunctional catalyst for the methanol oxidation and oxygen reduction reactions in alkaline solution.

- Appl Surf Sci. 2018;464:78-87. <https://doi.org/10.1016/j.apsusc.2018.09.069>.
67. Shao B, Liu Z, Zeng G, Wang H, Liang Q, He Q, et al. Two-dimensional transition metal carbide and nitride (MXene) derived quantum dots (QDs): synthesis, properties, applications and prospects. J Mater Chem A. 2020;8:7508-7535. <https://doi.org/10.1039/D0TA01552K>.
68. Zhang T, Jiang X, Li G, Yao Q, Yang J. A Red-Phosphorous-Assisted Ball-Milling Synthesis of Few-Layered $Ti_3C_2T_x$ (MXene) Nanodot Composite. ChemNanoMat 2018;4:56-60. <https://doi.org/10.1002/cnma.201700232>.
69. Yu X, Cai X, Cui H, Lee SW, Yu XF, Liu B. Fluorine-free preparation of titanium carbide MXene quantum dots with high near-infrared photothermal performances for cancer therapy. Nanoscale 2017;9:17859-17864. <https://doi.org/10.1039/C7NR05997C>.
70. Rahman UU, Humayun M, Ghani U, Usman M, Ullah H, Khan A, El-Metwaly NM, Khan A. MXenes as emerging materials: synthesis, properties, and applications. Molecules. 2022;27(15):4909. <https://doi.org/10.3390/molecules27154909>.
71. Zhou C, Tan K.B, Han W, Wang L, Lu M. A review of mxene-derived quantum dots: synthesis, characterization, properties, and applications. Particuology. 2024;19:50-71. <https://doi.org/10.1016/j.partic.2023.12.016>.
72. Xu Q, Cai W, Li W, Sreenivasan T, He Z, Ong W jun, et al. Two-dimensional quantum dots: fundamentals, photoluminescence mechanism and their energy and environmental applications. Mater Today Energy. 2018;10:222-40. <https://doi.org/10.1016/j.mtener.2018.09.005>.
73. Cheng H, Ding L xin, Chen G feng, Zhang L, Xue J, Wang H. Molybdenum Carbide Nanodots Enable Efficient Electrocatalytic Nitrogen Fixation under Ambient Conditions. Adv Mat. 2018;30:1803694. <https://doi.org/10.1002/adma.201803694>
74. Wang Y, Li C, Han X, Liu D, Zhao H, Li Z, et al. Ultrasmall Mo_2C nanoparticle-decorated carbon polyhedrons for enhanced microwave absorption. ACS Appl Nano Mater. 2018;1:5366-5376. <https://doi.org/10.1021/acsanm.8b01479>.
75. Zhang J, Kong N, Uzun S, Levitt A, Seyedin S, Lynch PA, et al. Scalable Manufacturing of Free-Standing, Strong $Ti_3C_2T_x$ MXene Films with Outstanding Conductivity. Adv. Mat. 2020;32:2001093. <https://doi.org/10.1002/adma.202001093>.
76. Wang R, Young Jang W, Zhang W, Venkata Reddy C, Kakarla RR, Li C, et al. Emerging two-dimensional (2D) MXene-based nanostructured materials: Synthesis strategies, properties, and applications as efficient pseudo-supercapacitors. Chem Eng J. 2023;472: 144913. <https://doi.org/10.1016/j.cej.2023.144913>.
77. Rabeie B, Mahkam M, Mahmoodi NM, Lan CQ. Graphene quantum dot incorporation in the zeolitic imidazolate framework with sodalite (SOD) topology: Synthesis and improving the adsorption ability in liquid phase. J Environ Chem Eng. 2021;9(6):106303. <https://doi.org/10.1016/j.jece.2021.106303>.
78. Rabeie B, Mahmoodi NM, Mahkam M. Morphological diversity effect of graphene quantum dot / MIL88A (Fe) composites on dye and pharmaceuticals (tetracycline and doxycycline) removal. J Environ Chem Eng. 2022;10:108321. <https://doi.org/10.1016/j.jece.2022.108321>.
79. Russo V, Hmoudah M, Broccoli F, Iesce MR. Applications of metal organic frameworks in wastewater treatment : A review on adsorption and photodegradation. Front Chem Eng. 2020;2:581487. <https://doi.org/10.3389/fceng.2020.581487>.
80. Kandisa RV, Saibaba KV N. Dye Removal by Adsorption: A Review. Int J Biodegrad Bioremediat. 2016;7:6. <https://doi.org/10.4172/2155-6199.1000371>.
81. Huang Z, Zeng Q, Liu Y, Xu Y, Li R, Hong H, et al. Facile synthesis of 2D $TiO_2@MXene$ composite membrane with enhanced separation and antifouling performance. J Membr Sci. 2021;640:119854. <https://doi.org/10.1016/j.memsci.2021.119854>.
82. Kadhom M, Deng B. Metal-organic frameworks (MOFs) in water filtration membranes for desalination and other applications. Appl Mater Today. 2018;11:219-30. <https://doi.org/10.1016/j.apmt.2018.02.008>
83. Wang T, Li M, Xu H, et al. MXene sediment-based poly(vinyl alcohol)/sodium alginate aerogel evaporator with vertically aligned channels for highly efficient solar steam generation. Nano-Micro Lett. 2024;16:220. <https://doi.org/10.1007/s40820-024-01433-1>.
84. Hosseiniabadi-Farahani Z, Hosseini-Monfared H, Mahmoodi NM, Graphene oxide nanosheet: preparation and dye removal from binary system colored wastewater. Desalin Water Treat. 2015;56: 2382-2394.
85. Rabeie B, Mahmoodi NM, Dargahi A, Hayati B, Rezakhani Moghaddam H. Magnetic COF/MOF hybrid: An efficient Z-scheme photocatalyst for the visible light-assisted degradation of tetracycline and malachite green. J Mol Liq. 2025;421:126869. <https://doi.org/10.1016/j.molliq.2025.126869>.
86. Rabeie B, Mahmoodi NM, Hayati B, Dargahi A, Rezakhani Moghaddam H. Chitosan adorned with ZIF-67 on ZIF-8 biocomposite: A potential LED visible light-assisted photocatalyst for wastewater decontamination. Int J Biol Macromol. 2024;282:137405. <https://doi.org/10.1016/j.ijbiomac.2024.137405>
87. Rabeie B, Mahmoodi NM. Green and environmentally friendly architecture of starch-based ternary magnetic biocomposite (Starch/MIL100/Co Fe_2O_4): Synthesis and photocatalytic degradation of tetracycline and dye. Int J Biol Macromol. 2024;274:133318. <https://doi.org/10.1016/j.ijbiomac.2024.133318>.
88. Hoseinzadeh H, Bakhtiari M, Seifpanahi-Shabani K, Oveis M, Hayati B, Rabeie B, et al. Synthesis of the metal-organic framework – Copper oxide nanocomposite and LED visible light organic contaminants (dye and pharmaceutical) destruction ability in the water. Mater Sci Eng B. 2021;274:115495. <https://doi.org/10.1016/j.mseb.2021.115495>.
89. Rabeie B, Mahmoodi NM. Hierarchical ternary titanium dioxide decorated with graphene quantum dot/ZIF-8 nanocomposite for the photocatalytic degradation of doxycycline and dye using visible light. J Water Process Eng. 2023;54:103976. <https://doi.org/10.1016/j.jwpe.2023.103976>.
90. Rabeie B, Mahmoodi NM. Heterogeneous MIL-88A on MIL-88B hybrid: A promising eco-friendly hybrid from green synthesis to dual application (Adsorption and photocatalysis) in tetracycline and dyes removal. J Colloid Interface Sci. 2024;654:495-522. <https://doi.org/10.1016/j.jcis.2023.10.060>.
91. Li Y, Xia Z, Yang Q, Wang L, Xing Y. Review on g-C $3N_4$ -based S-scheme heterojunction photocatalysts. J Mater Sci Technol. 2022;125:128-44. <https://doi.org/10.1016/j.jmst.2022.02.035>
92. Low J, Yu J, Jaroniec M, Wageh S, Al-Ghamdi AA. Heterojunction Photocatalysts. Adv Mater. 2017;29:1601694. <https://doi.org/10.1002/adma.201601694>.

93. Yang H. A short review on heterojunction photocatalysts: Carrier transfer behavior and photocatalytic mechanisms. *Mater Res Bull.* 2021;142:111406. <https://doi.org/10.1016/j.materbull.2021.111406>.
94. Meng A, Cheng B, Tan H, Fan J, Su C, Yu J. TiO₂/polydopamine S-scheme heterojunction photocatalyst with enhanced CO₂-reduction selectivity. *Appl Catal B Environ.* 2021;289:120039. <https://doi.org/10.1016/j.apcatb.2021.120039>.
95. Liu S, Chen L, Liu T, Cai S, Zou X, Jiang J, et al. Rich S vacant g-C₃N₄@CuInS₈ hollow heterojunction for highly efficient selective photocatalytic CO₂ reduction. *Chem Eng J.* 2021;424:130325. <https://doi.org/10.1016/j.cej.2021.130325>.
96. Salazar-Marín D, Oza G, Real JAD, Cervantes-Uribe A, Pérez-Vidal H, Kesrala MK, et al. Distinguishing between type II and S-scheme heterojunction materials: A comprehensive review. *Appl Surf Sci Adv.* 2024;19:100536. <https://doi.org/10.1016/j.apsadv.2023.100536>.
97. Serpone N, Maruthamuthu P, Pichat P, Pelizzetti E, Hidaka H. Exploiting the interparticle electron transfer process in the photocatalysed oxidation of phenol, 2-chlorophenol and pentachlorophenol: chemical evidence for electron and hole transfer between coupled semiconductors. *J Photochem Photobiol A: Chem.* 1995;85:247-255. [https://doi.org/10.1016/1010-6030\(94\)03906-B](https://doi.org/10.1016/1010-6030(94)03906-B)
98. Serpone N, Borgarello E, Gratzel M. Visible light induced generation of hydrogen from H₂S in mixed semiconductor dispersions; improved efficiency through inter-particle electron transfer. *J Chem Soc Chem Commun.* 1984;6:342-344. <https://doi.org/10.1039/C39840000342>.
99. Xue J, Bao J. Interfacial charge transfer of heterojunction photocatalysts: Characterization and calculation. *Surf Interfaces.* 2021;25:101265. <https://doi.org/10.1016/j.surfin.2021.101265>.
100. Wang Z, Lin Z, Shen S, Zhong W, Cao S. Advances in designing heterojunction photocatalytic materials. *Chinese J Catal.* 2021;42:710-30. [http://dx.doi.org/10.1016/S1872-2067\(20\)63698-1](http://dx.doi.org/10.1016/S1872-2067(20)63698-1).
101. Yuan Y, Guo R tang, Hong L fei, Ji X yin, Lin Z dong, Li Z sheng, et al. A review of metal oxide-based Z-scheme heterojunction photocatalysts: actualities and developments. *Mater Today Energy* 2021;21:100829. <https://doi.org/10.1016/j.mtener.2021.100829>.
102. Liao G, Li C, Liu S yong, Fang B. Emerging frontiers of Z-scheme photocatalytic systems. *Trends Chem* 2021;4:111-27. <https://doi.org/10.1016/j.trechm.2021.11.005>.
103. Ge M, Li Z. Recent progress in Ag₃PO₄ - based all - solid - state Z - scheme photocatalytic systems. *Chinese J Catal.* 2017;38:1794-803. [http://dx.doi.org/10.1016/S1872-2067\(17\)62905-X](http://dx.doi.org/10.1016/S1872-2067(17)62905-X).
104. Wu F, Li X, Liu W, Zhang S. Highly enhanced photocatalytic degradation of methylene blue over the indirect all-solid-state Z-scheme g-C₃N₄-RGO-TiO₂ nanoheterojunctions. *Appl Surf Sci.* 2017;405:60-70. <http://dx.doi.org/10.1016/j.apsusc.2017.01.285>.
105. Xu Q, Zhang L, Cheng B, Fan J, Yu J. S-scheme heterojunction photocatalyst. *Chem.* 2020;6:1543-1559. <https://doi.org/10.1016/j.chempr.2020.06.010>.
106. Low J, Jiang C, Cheng B, Wageh S, Al-ghandi AA. A review of direct z-scheme photocatalysts. *Small* 2017;1:1700080. <https://doi.org/10.1002/smtd.201700080>.
107. Li X, Garlisi C, Guan Q, Anwer S, Al-ali K, Palmisano G, et al. A review of material aspects in developing direct Z-scheme photocatalysts. *Mater. Today* 2021;47:75-107. <https://doi.org/10.1016/j.mattod.2021.02.017>.
108. Shao B, Liu Z, Zeng G, Liu Y, Liang Q, He Q. Synthesis of 2D/2D CoAl-LDHs/Ti3C₂Tx Schottky-junction with enhanced interfacial charge transfer and visible-light photocatalytic performance. *Appl Catal B Environ.* 2021;286:119867. <https://doi.org/10.1016/j.apcatb.2020.119867>.
109. Zhang S, Cai M, Wu J, Wang Z, Lu X, Li K, et al. photocatalytic degradation of TiO₂ via incorporating Ti₃C₂ MXene for methylene blue removal from water. *Catal. Commun.* 2023;174:106594. <https://doi.org/10.1016/j.catcom.2022.106594>.
110. Ding X, Li C, Wang L, Feng L, Han D, Wang W. Fabrication of hierarchical g-C₃N₄/ MXene-AgNPs nanocomposites with enhanced photocatalytic performances. *Mater Lett.* 2019;247:174-7. <https://doi.org/10.1016/j.matlet.2019.02.125>.
111. Diao Y, Yan M, Li X, Zhou C, Peng B, Chen H. In-situ grown of g-C₃N₄/Ti₃C₂/TiO₂ nanotube arrays on Ti meshes for efficient degradation of organic pollutants under visible light irradiation. *Colloids Surf A: Physicochem Eng Asp.* 2020;594:124511. <https://doi.org/10.1016/j.colsurfa.2020.124511>.
112. Quang V, Khoa T, Nguyen T quang, Khan A. Photocatalytic degradation of methyl orange dye by Ti₃C₂-TiO₂ heterojunction under solar light. *Chemosphere.* 2021;276:130154. <https://doi.org/10.1016/j.chemosphere.2021.130154>.
113. Akbari M, Rasouli J, Rasouli K, Ghaedi S, Mohammadi M, Rajabi H, et al. MXene-based composite photocatalysts for efficient degradation of antibiotics in wastewater. *Sci Rep.* 2024;14:31498. <https://doi.org/10.1038/s41598-024-83333-3>.
114. Othman Z, Sinopoli A, Mackey HR, Mahmoud KA. Efficient Photocatalytic Degradation of organic dyes by AgNPs/TiO₂/Ti₃C₂Tx MXene Composites under UV and Solar Light. *ACS Omega.* 2021;6:33325-33338. <https://doi.org/10.1021/acsomega.1c03189>.
115. Diao Y, Yan M, Li X, Zhou C, Peng B, Chen H, et al. In-situ grown of g-C₃N₄/Ti₃C₂/TiO₂ nanotube arrays on Ti meshes for efficient degradation of organic pollutants under visible light irradiation. *Colloids Surfaces A Physicochem Eng Asp.* 2020;594:1-11. <https://doi.org/10.1016/j.colsurfa.2020.124511>.
116. Li M, Lai C, Yi H, Huang D, Qin L, Liu X, et al. Multiple charge-carrier transfer channels of Z-scheme bismuth tungstate-based photocatalyst for tetracycline degradation: Transformation pathways and mechanism. *J Colloid Interface Sci.* 2019;555:770-82. <https://doi.org/10.1016/j.jcis.2019.08.035>.
117. Long R, Yu Z, Tan Q, Feng X, Zhu X, Li X, et al. Ti₃C₂ MXene/NH₂-MIL-88B(Fe): Research on the adsorption kinetics and photocatalytic performance of an efficient integrated photocatalytic adsorbent. *Appl Surf Sci.* 2021;570:151244. <https://doi.org/10.1016/j.apsusc.2021.151244>.
118. Jiao S, Liu L. Friction-induced enhancements for photocatalytic degradation of MoS₂@Ti₃C₂ nanohybrid. *Ind Eng Chem Res.* 2019;58(39):18141-8. <https://doi.org/10.1021/acs.iecr.9b03680>.
119. Zhang H, Li M, Zhu C, Tang Q, Kang P, Cao J. Preparation of magnetic α-Fe₂O₃/ZnFe₂O₄@Ti₃C₂ MXene with excellent photocatalytic performance. *Ceram Int.* 2020;46:81-8. <https://doi.org/10.1016/j.ceramint.2019.08.236>.
120. Cai T, Wang L, Liu Y, Zhang S, Dong W, Chen H, et al. Ag₃PO₄/Ti₃C₂ MXene interface materials as a Schottky catalyst with enhanced photocatalytic activities and anti-

- photocorrosion performance. *Appl Catal B Environ.* 2018;239:545–54. <https://doi.org/10.1016/j.apcatb.2018.08.053>.
121. Li K, Lu X, Zhang Y, Liu K, Huang Y, Liu H. Bi₃TaO₇/Ti₃C₂ heterojunctions for enhanced photocatalytic removal of water-borne contaminants. *Environ Res.* 2020;185:109409. <https://doi.org/10.1016/j.envres.2020.109409>.
122. Deng H, Li ZJ, Wang L, Yuan LY, Lan JH, Chang ZY, et al. Nanolayered Ti₃C₂ and SrTiO₃ composites for photocatalytic reduction and removal of uranium (VI). *ACS Appl Nano Mater.* 2019;2:2283–94. <https://doi.org/10.1021/acsnanm.9b00205>.
123. Peng C, Wang H, Yu H, Peng F. (111) TiO_{2-x}/Ti₃C₂: Synergy of active facets, interfacial charge transfer and Ti³⁺ doping for enhance photocatalytic activity. *Mater Res Bull.* 2017;89:16–25. <https://doi.org/10.1016/j.materresbull.2016.12.049>.
124. Peng C, Yang X, Li Y, Yu H, Wang H, Peng F. Hybrids of Two-Dimensional Ti₃C₂ and TiO₂ Exposing {001} Facets toward Enhanced Photocatalytic Activity. *ACS Appl Mater Interfaces.* 2016;8(9):6051–60. <https://doi.org/10.1021/acsmami.5b11973>.
125. Liu Q, Tan X, Wang S, Ma F, Znad H, Shen Z, et al. MXene as a non-metal charge mediator in 2D layered CdS@Ti₃C₂@TiO₂ composites with superior Z-scheme visible light-driven photocatalytic activity. *Environ Sci Nano.* 2019;6(10):3158–69. <https://doi.org/10.1039/C9EN00567F>.
126. Liu N, Lu N, Yu HT, Chen S, Quan X. Efficient day-night photocatalysis performance of 2D/2D Ti₃C₂/Porous g-C₃N₄ nanolayers composite and its application in the degradation of organic pollutants. *Chemosphere.* 2020;246: 125760. <https://doi.org/10.1016/j.chemosphere.2019.125760>.
127. Fang H, Pan Y, Yin M, Pan C. Enhanced photocatalytic activity and mechanism of Ti₃C₂–OH/Bi₂WO₆:Yb³⁺, Tm³⁺ towards degradation of RhB under visible and near infrared light irradiation. *Mater Res Bull.* 2020;121:110618. <https://doi.org/10.1016/j.materresbull.2019.110618>.
128. Li S, Zhang T, Zheng H, Niu J, Zhang W, Ma J, et al. Efficient photo-Fenton degradation of water pollutants via peracetic acid activation over sulfur vacancies-rich metal sulfides/MXenes. *Appl Catal B Environ.* 2025;366:125000. <https://doi.org/10.1016/j.apcatb.2024.125000>.
129. Mahmoodi NM, Mokhtari-Shourijeh Z, Preparation of aminated nanoporous nanofiber by solvent casting/poregen leaching technique and dye adsorption modeling. *J Taiwan Inst Chem Eng.* 2016;65:378–389. <https://doi.org/10.1016/j.jtice.2016.05.042>.
130. Foroughifar N, Mobinikhalegi A, Rabeie B, Jalili L, DABCO as a mild and efficient catalyst for the synthesis of tetrahydropyrimidines. *Rev Roum Chim* 2013;58:491–495.
131. Mahmoodi NM, Ghadirli MM, Hayati B, Mahmoodi B, Rabeie B, Synthesis of ZIF-8 composite (g-C₃N₄@ ZIF-8/Ag₃PO₄) as a catalyst for the malachite green and tetracycline degradation. *Inorg Chem Commun.* 2025;177:114345. <https://doi.org/10.1016/j.jinoche.2025.114345>.
132. Ayar S, Tajik H, Mahmoodi NM, Fallah Moafi H, Rabeie B. Removal of malachite green dye from wastewater using metal-organic mold biocomposite (ZIF-67) and polymer (carboxymethyl cellulose). *J Stud Color World.* 2024;14(4):285–301. <https://doi.org/10.30509/jscw.2024.167336.1197> [In Persian].
133. Mazarji M, Mahmoodi NM, Bidhendi GN, Li A, Li M, James A, Mahmoodi B, Pan J, Synthesis, Characterization, and Enhanced Photocatalytic Dye Degradation: Optimizing Graphene-Based ZnO–CdSe Nanocomposites via Response Surface Methodology. *J. Alloys Compd.* 2025;1010:177999. <https://doi.org/10.1016/j.jallcom.2024.177999>
134. Mahmoodi NM, Mokhtari-Shourijeh Z, Modified poly (vinyl alcohol)-triethylenetetramine nanofiber by glutaraldehyde: preparation and dye removal ability from wastewater. *Desalin Water Treat.* 2016;57:20076–20083. <https://doi.org/10.1080/19443994.2015.1109562>
135. Mahmoodi NM, Hosseiniabadi-Farahani Z, Chamani H, Dye adsorption from single and binary systems using NiO–MnO₂ nanocomposite and artificial neural network modeling. *Environ Prog Sustain.* 2017;36:111–119. <https://doi.org/10.1002/ep.12452>
136. Mahmoodi NM, Maghsoudi A, Kinetics and isotherm of cationic dye removal from multicomponent system using the synthesized silica nanoparticle. *Desalin Water Treat.* 2015;54:562–571. <https://doi.org/10.1080/19443994.2014.880158>
137. Oshani F, Kargari A, Norouzbeigi R, Mahmoodi NM, Role of Fabrication Parameters on Microstructure and Permeability of Geopolymer Microfilters. *Chem Eng Res Des.* 2024;210:190–201. <https://doi.org/10.1016/j.cherd.2024.08.009>
138. Dousti S, Mahmoodi B, Bijari M, Shahbazi A, Investigating the Effect of Various Precursors in the Synthesis and Improvement of the Photocatalytic Performance of Graphite Carbon Nitride in the Degradation of Rhodamine B Dye Under Visible Light. *J Color Sci Tech.* 2024;18(2):135–150. <https://doi.org/10.30509/JCST.2024.167291.1224> [In Persian].
139. Mahmoodi NM, Bakhtiari M, Oveis M, Mahmoodi B, Hayati B, Green synthesis of eco-friendly magnetic metal-organic framework nanocomposites (AlFum-graphene oxide) and pollutants (dye and pharmaceuticals) removal capacity from water. *Mater Chem Phys.* 2023;302:127720. <https://doi.org/10.1016/j.matchemphys.2023.127720>.
140. Ahmadi S, Mahmoodi B, Kazemini M, Mahmoodi NM, Photocatalytic degradation of dye (Reactive Red 198) and pharmaceutical (tetracycline) using MIL-53 (Fe) and MIL-100 (Fe): catalyst synthesis and pollutant degradation. *Pigm Resin Technol.* 2023;52:357–368. <https://doi.org/10.1108/PRT-05-2022-0067>.
141. Shokrgozar A, Seifpanahi-Shabani K, Mahmoodi B, Mahmoodi NM, Khorasheh F, Baghalha M, Synthesis of Ni–Co–CNT nanocomposite and evaluation of its photocatalytic dye (Reactive Red 120) degradation ability using response surface methodology. *Desalin Water Treat.* 2021;216:389–400. <https://doi.org/10.5004/dwt.2021.26804>.

How to cite this article:

B. Rabeie . MXenes: From introduction of structure and synthesis to photocatalytic ability to degrade dyes and organic pollutants in water. *J Stud Color World.* 2025;15(1):91–114. <https://doi.org/10.30509/jscw.2025.167478.1222> [In Persian].